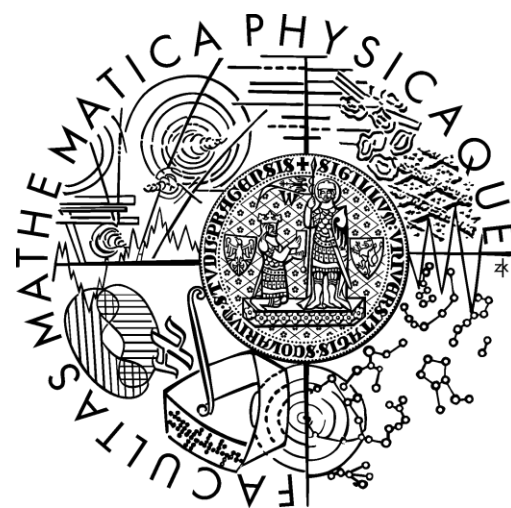


Rekonstrukce ploch: Polygonální a analytická reprezentace Vybrané metody aproximace ploch

Petra Surynková

Matematicko-fyzikální fakulta
Univerzita Karlova v Praze

petra.surynkova@mff.cuni.cz



Přehled (1)

- **Princip rekonstrukce ploch technické praxe z mračna bodů**
 - Bodová fáze – příprava a předzpracování
 - Polygonální reprezentace
 - Tvarová fáze – segmentace, aproximace oblasti daným typem plochy
- **Hraniční reprezentace**
 - Polygonální reprezentace – příklady v programu Rhinoceros
 - Analytická reprezentace
- **Analytická vyjádření hraničně reprezentovaných objektů**
 - Bézierovy plochy
 - Racionální Bézierovy plochy
 - Plátování
 - Příklady ploch



Přehled (2)

- **Aproximace ploch Bézierovými pláty**
 - Body vstupní množiny tvoří pravidelnou mřížku
 - Body vstupní množiny jsou rozmístěny náhodně
 - Programová demonstrace
- **Další vylepšování tvaru aproximující plochy**
 - Evoluce uzavřených a otevřených B-spline křivek – objasnění problému
 - Evoluce Bézierových ploch
 - Programová demonstrace
- **Závěr a budoucí práce**



Rekonstrukce ploch (1)

- **Digitální dokumentace reálných povrchů**
 - **rekonstrukce ploch** je využívána v řadě odvětvích vědy a průmyslu
 - dokumentace soch a památek, architektura, stavitelství, design, ...
 - **vytvoření CAD modelu** z daného mračna bodů
 - body v prostoru, v obecné úloze známe jen prostorové souřadnice
- **Bodová fáze – příprava a předzpracování**
 - mračna bodů získáváme **3D skenováním** reálných povrchů
 - nutné počítat s nepřesností v měření
 - **skenování** se provádí **vícekrát z různých stanovišť**, jednotlivé „skeny“ se následně slučují
 - ve výsledném mračnu bodů mohou být **redundantní data** – nutné odstranit – ztenčující algoritmy



Rekonstrukce ploch (2)

- **Polygonální reprezentace**

- celá řada algoritmů využívající dělení prostoru
 - základem Voronoiovy diagramy, Delaunay triangulace
- výsledkem těchto metod bývá velice často **trojúhelníková síť** aproximující zadanou množinu bodů
 - velice komplikovaný problém, dosud neexistují uspokojivé univerzální řešící postupy

- **Tvarová fáze**

- převod trojúhelníkové sítě do CAD reprezentace
 - **implicitní nebo parametrické vyjádření ploch**
- **segmentace** – detekce a rozdělení na oblasti s „rozdílnou geometrií“
 - tj. nalezení **rovinné oblasti**, části **válcových ploch** nebo **obecné plochy** (freeform patches) – není jednoduché
- **aproximace oblasti typem plochy** určeného při segmentaci (surface fitting)

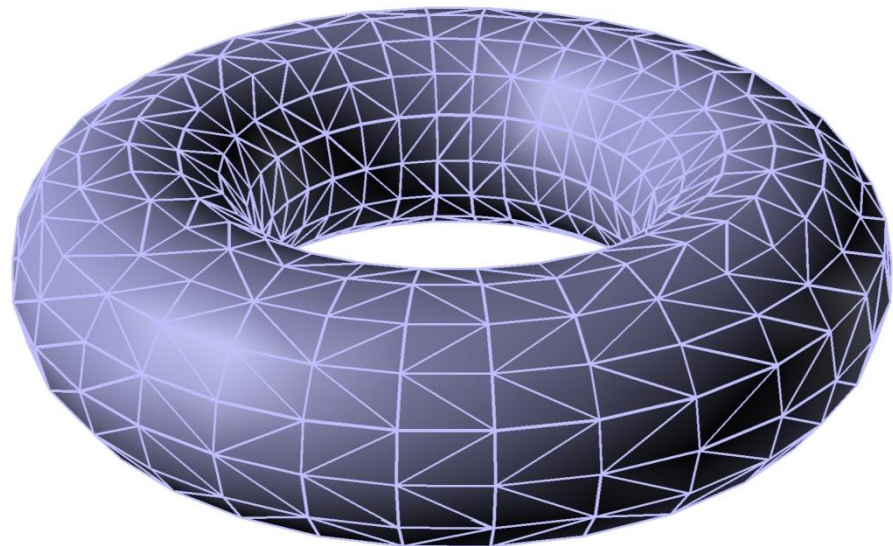
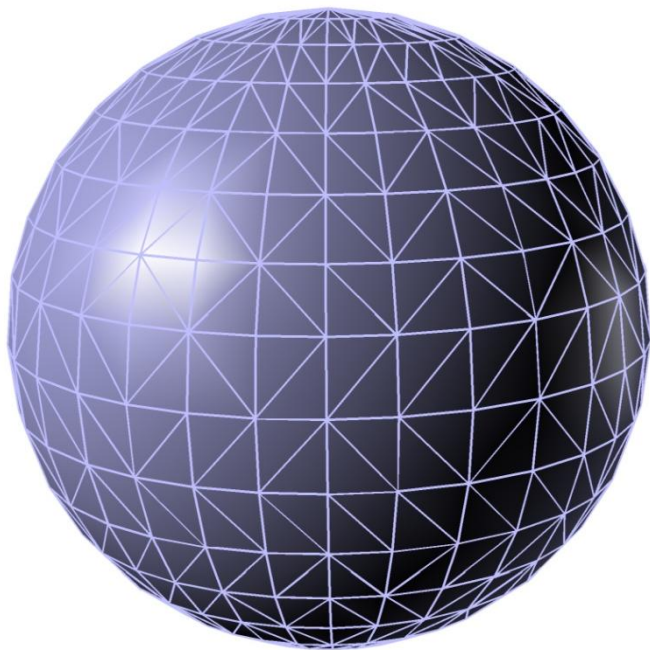
Hraniční reprezentace (1)

- **Polygonální reprezentace**

- jedna z nejčastěji používaných reprezentací objektů v počítačové grafice
- základním prvkem
 - **nejčastěji trojúhelník**, někdy čtyřúhelník nebo mnohoúhelníky (nutné určovat konvexitu)
 - polygon je nejčastěji reprezentován **pouze svými vrcholy** – pořadí vrcholů a tudíž i pořadí jeho **stran** určuje **orientaci celého polygonu**
- při rekonstrukci ploch – **vstupem množina bodů**, známe **prostorové souřadnice**, obecně nevíme nic dalšího
 - díky polygonální reprezentaci, určíme **návaznost bodů vstupní množiny**
 - jde o vygenerování **prvotního povrchu plochy**, který se dále zpracovává

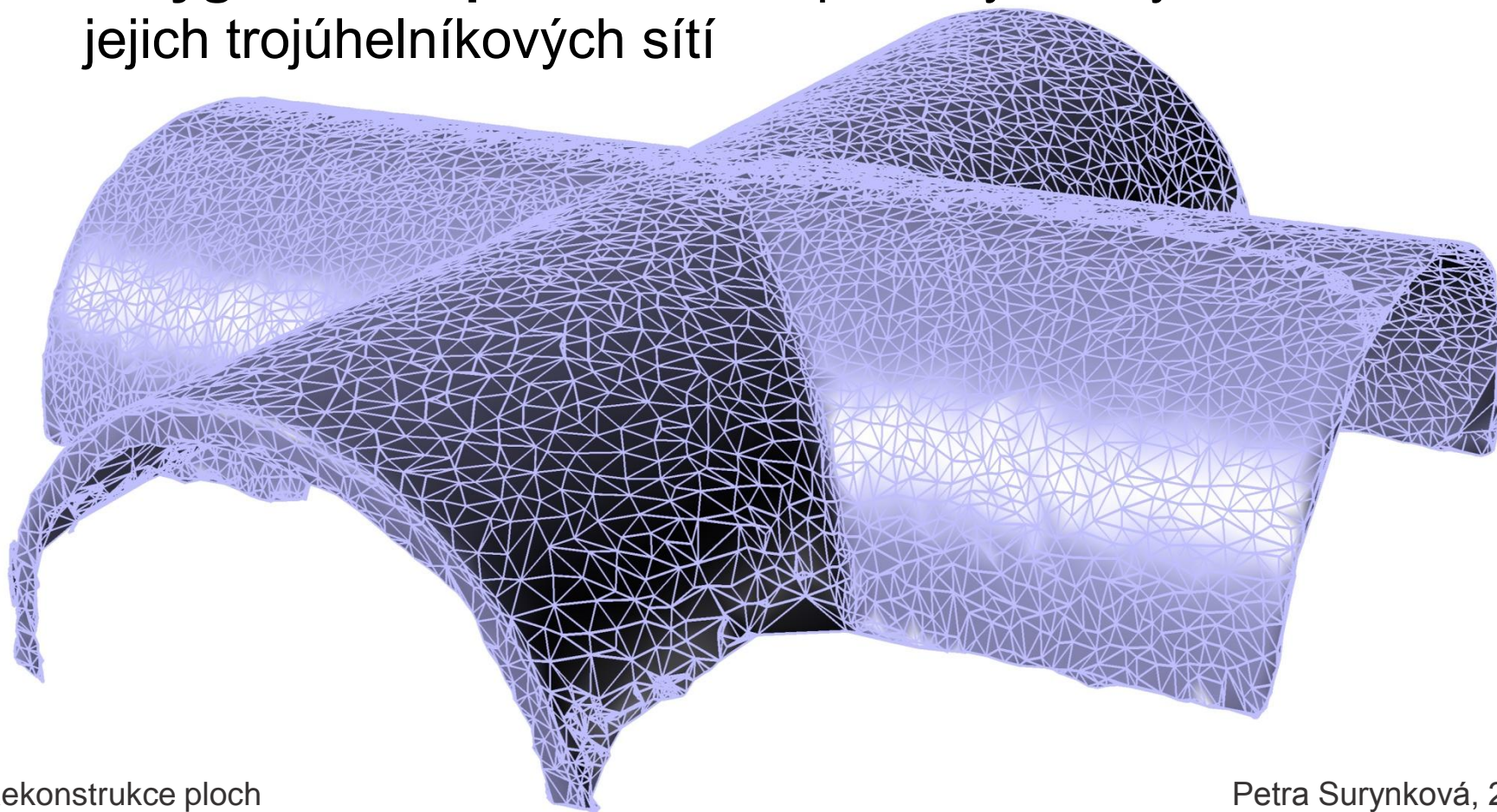
Hraniční reprezentace (2)

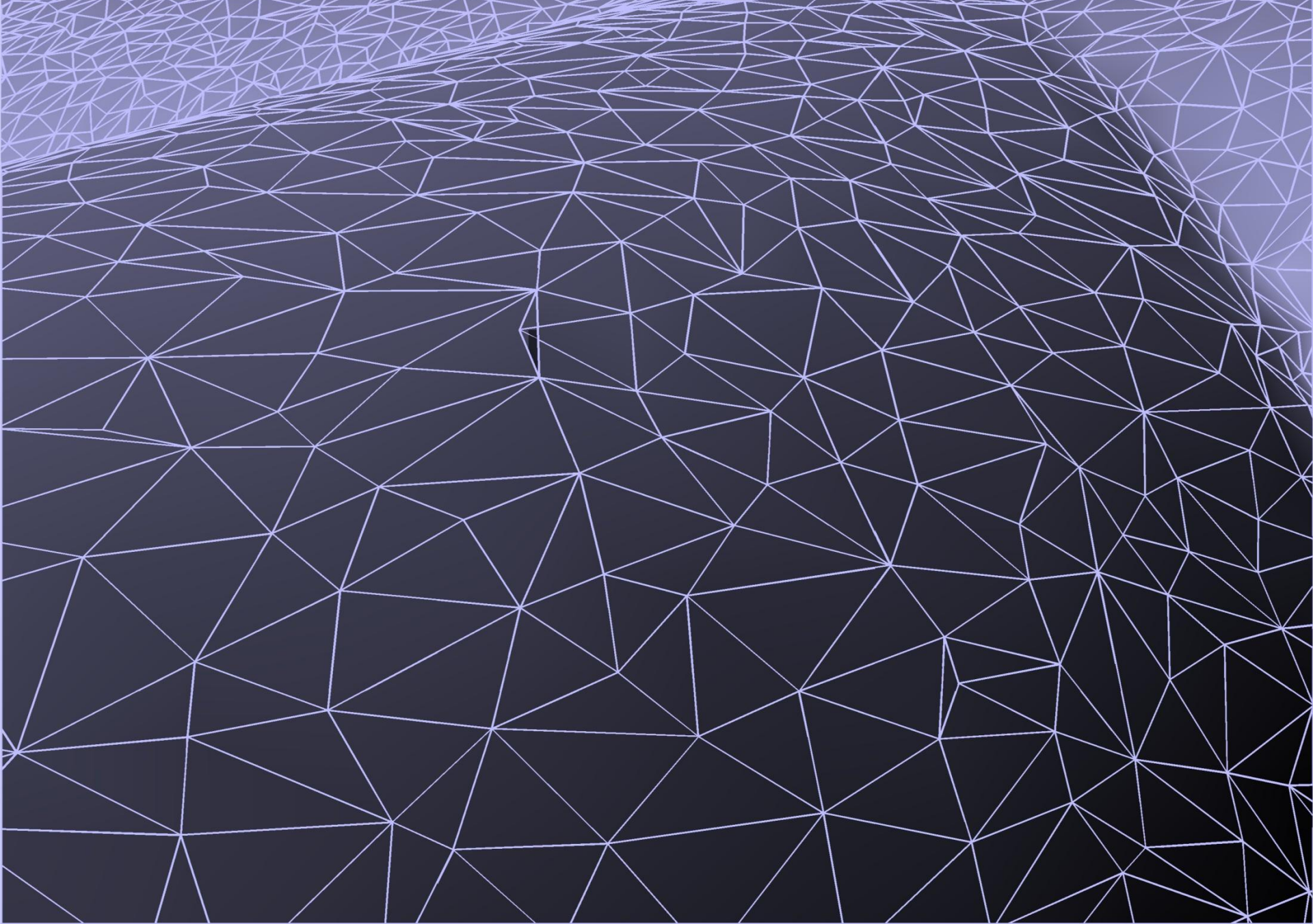
- **Polygonální reprezentace** – příklady trojúhelníkové sítě

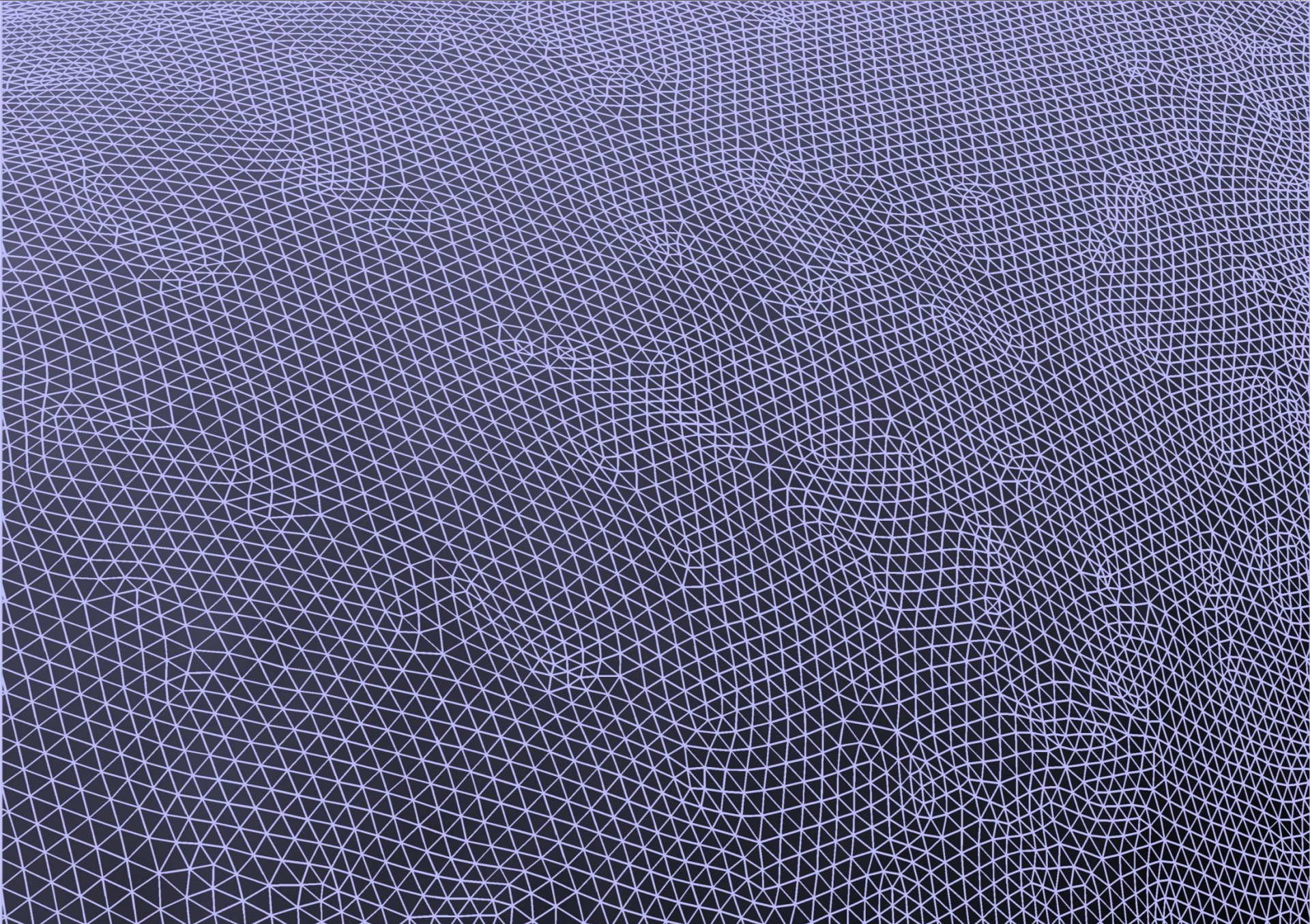


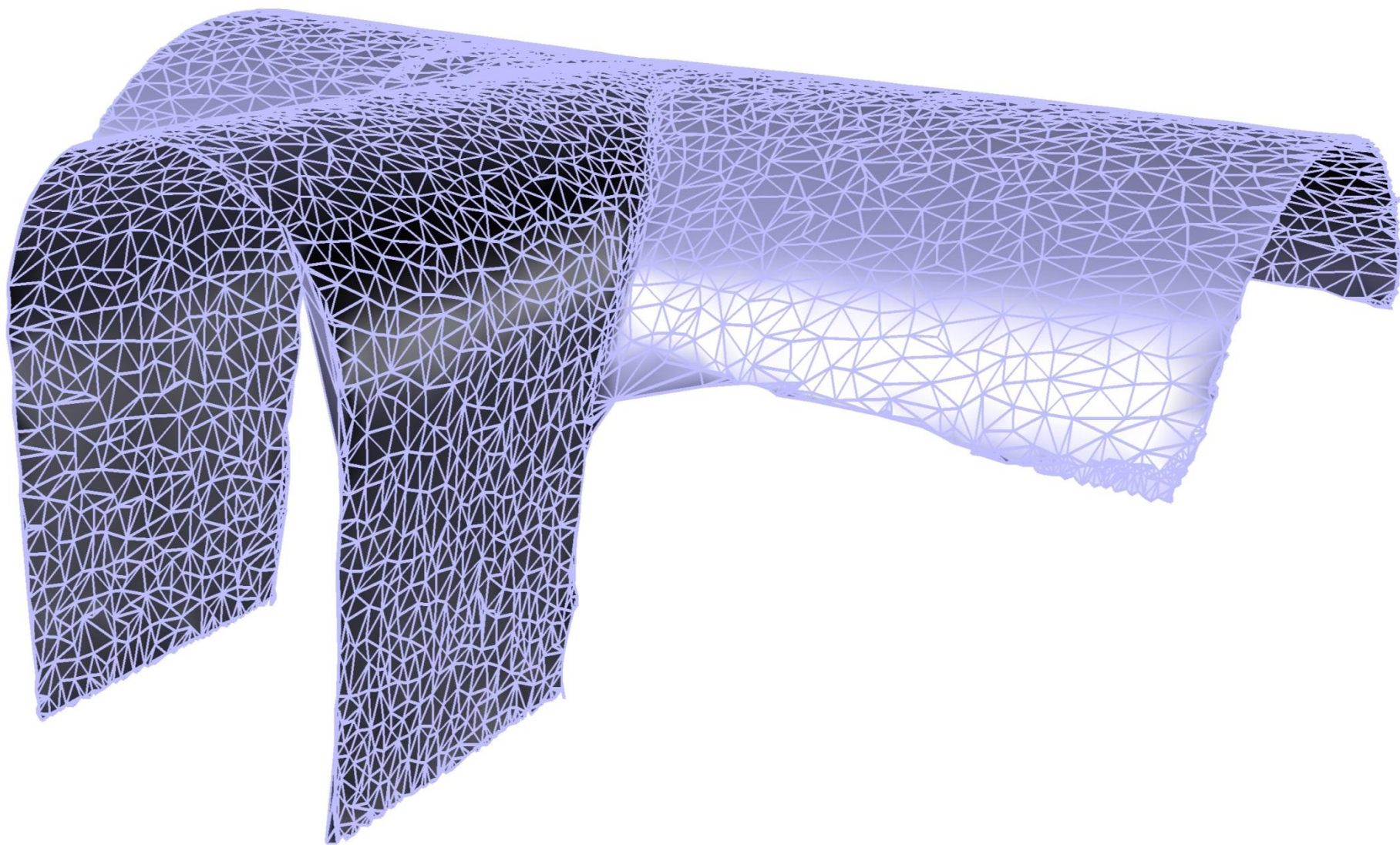
Hraniční reprezentace (3)

- **Polygonální reprezentace** – příklady reálných dat a jejich trojúhelníkových sítí









Ukázka trojúhelníkových sítí naskenovaných reálných objektů

**Využití modelovacích funkcí a nástrojů v
programu Rhinoceros**

Hraniční reprezentace (4)

- **Analytická reprezentace**

- rozsáhlá teorie diferenciální geometrie křivek a ploch
- nejčastěji parametrický popis, implicitní popis (méně)

- **výhody**

- základní předností analytického vyjádření ploch je jeho **přesnost**
 - například v architektuře vysoce žádoucí
- analytické vyjádření ploch umožňuje **měřit povrch**
- plochy lze poměrně **snadno editovat**
- lze **měnit tvar plochy**
- s plochami lze provádět různé operace
 - **dělení** nebo **průniky**
- parametricky vyjádřené funkce jsou **jednoduše diferencovatelné**
 - objekty takto popsané se snadno navazují

Hraniční reprezentace (5)

- v analytické formě bývá obtížné (někdy dokonce nemožné) vyjádřit **složitý objekt jako celek**
- složité objekty proto popisujeme parametricky jako objekty složené z jednodušších částí
 - vytváření výsledných objektů napojováním ploch tzv. plátů se v počítačové grafice označuje jako **plátování**
- k popisu ploch technické praxe budeme používat **Bézierovy a racionální Bézierovy plochy**
 - definice, speciální příklady, které lze v rekonstrukci povrchů využít
 - napojování Bézierových plátů

Bézierovy plochy (1)

- **Bézierova plocha stupně $m \times n$**
 - je určena $(m+1) \times (n+1)$ řídicími body a vztahem

$$Q(u, v) = \sum_{i=0}^m \sum_{j=0}^n P_{ij} B_i^m(u) B_j^n(v), u \in \langle 0, 1 \rangle, v \in \langle 0, 1 \rangle$$

- **bázové funkce $B_i^k(t), k = n, m$ jsou Bernsteinovy polynomy k -tého stupně**

$$B_i^k(t) = \binom{k}{i} t^i (1-t)^{k-i}$$

$$t \in \langle 0, 1 \rangle, i = 0, 1, \dots, k$$

Bézierovy plochy (2)

- **Bézierova plocha stupně $m \times n$**
- Bézierova plocha prochází rohovými body sítě a okrajové křivky plochy jsou Bézierovými křivkami pro okraje sítě
 - **tečná rovina v bodě P_{00} je určena body P_{00}, P_{10}, P_{01}**
 - **podobně pro další rohové body**

$$Q(0,0) = P_{00}$$

$$Q(0,1) = P_{0n}$$

$$Q(1,0) = P_{m0}$$

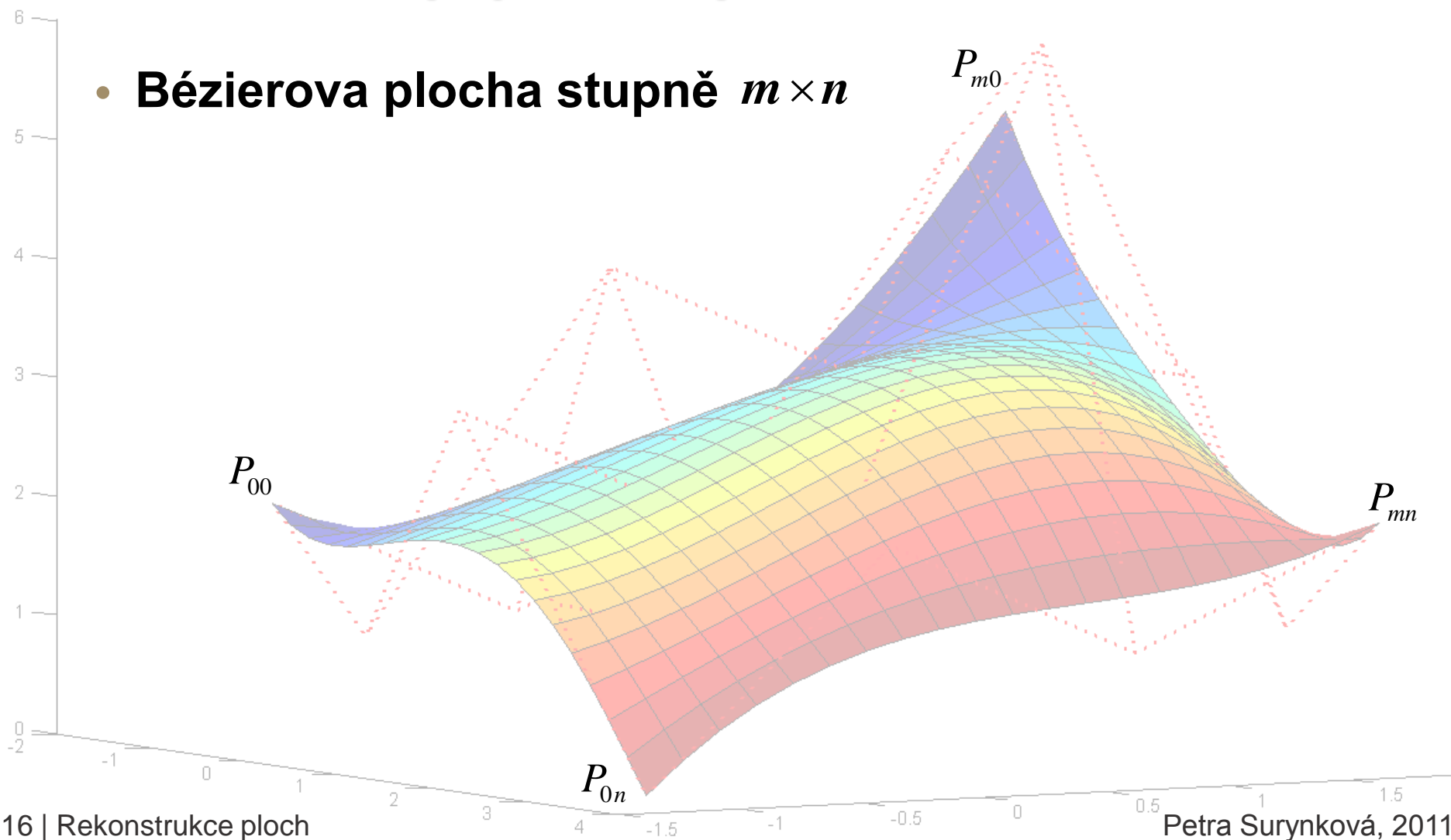
$$Q(1,1) = P_{mn}$$

okrajová křivka např.:

$$Q(0, v) = \sum_{j=0}^n P_{0j} B_j^n(v)$$

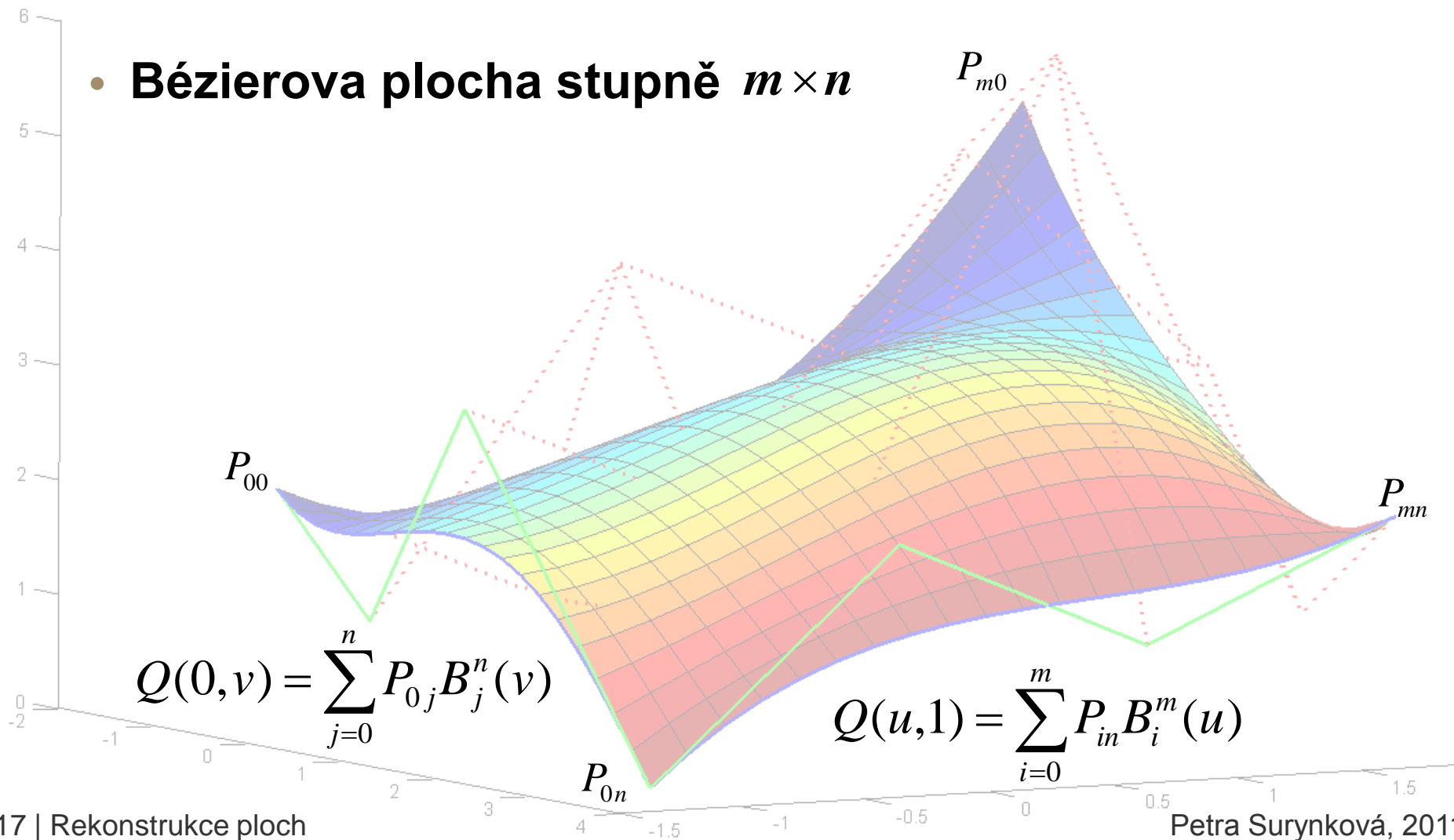
Bézierovy plochy (3)

- Bézierova plocha stupně $m \times n$



Bézierovy plochy (4)

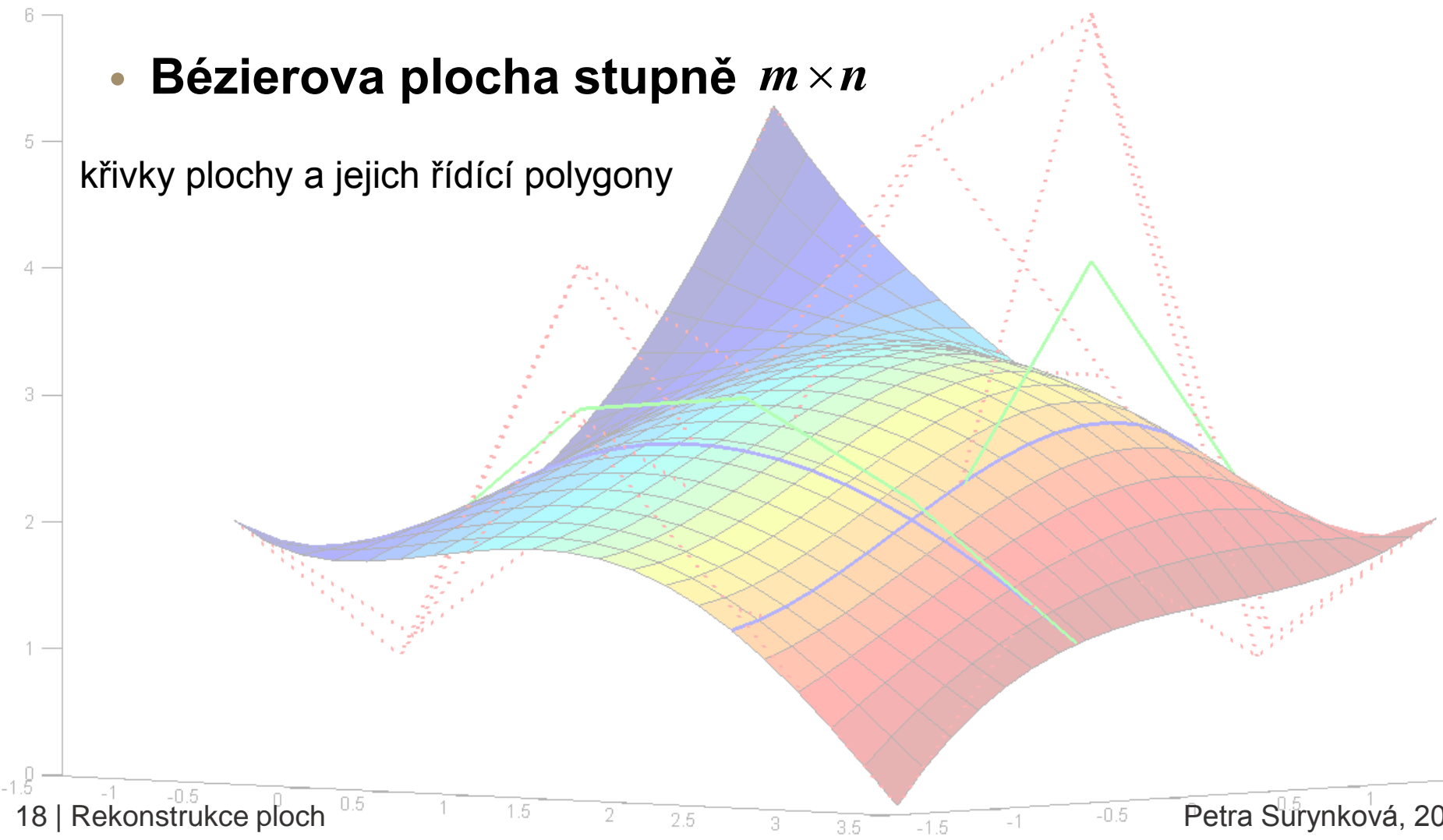
- Bézierova plocha stupně $m \times n$



Bézierovy plochy (5)

- **Bézierova plocha stupně $m \times n$**

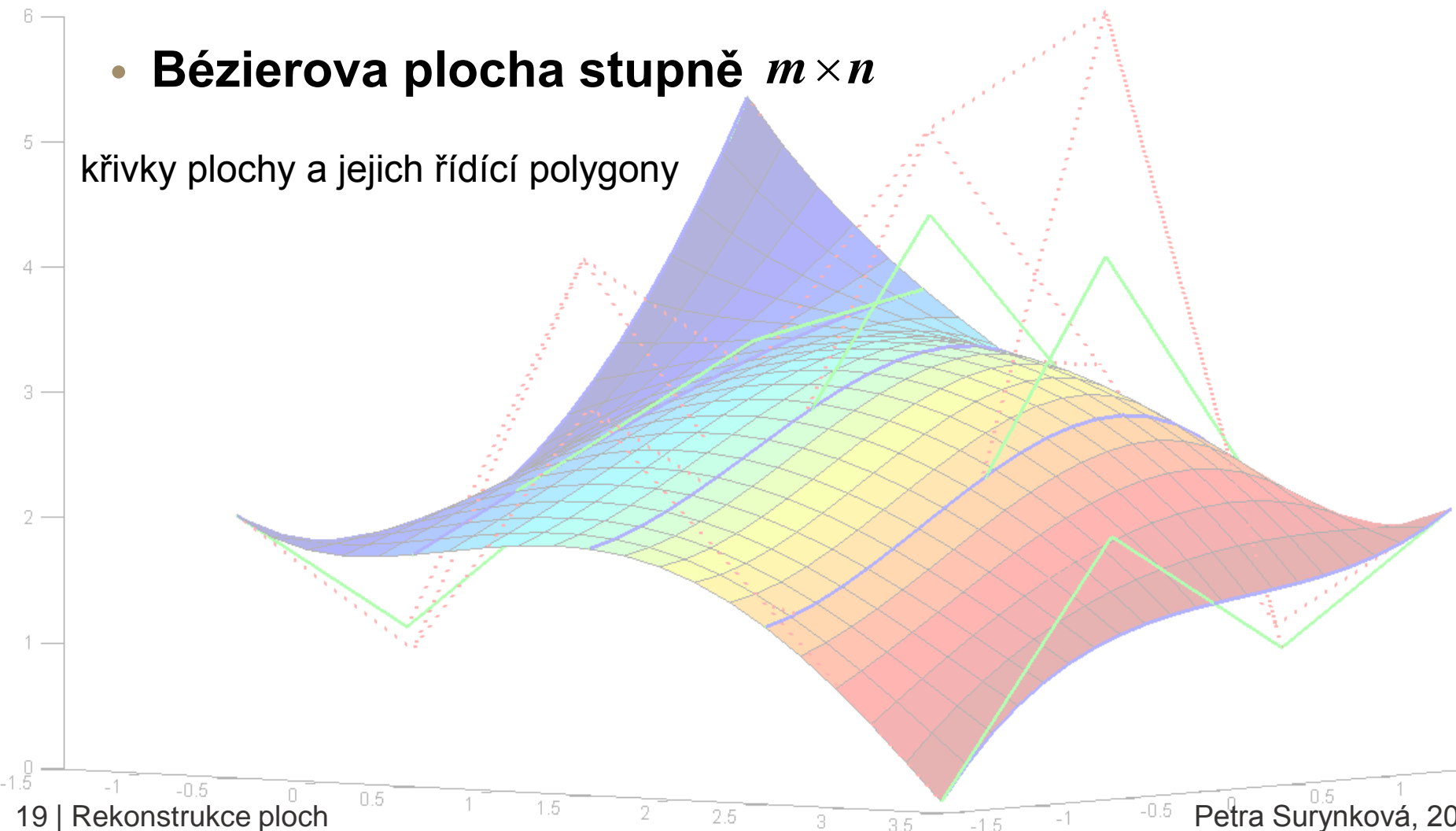
řivky plochy a jejich řídící polygony



Bézierovy plochy (6)

- **Bézierova plocha stupně $m \times n$**

křivky plochy a jejich řídící polygony



Bézierovy plochy (7)

- **Bézierova bikubická plocha** $m = 3, n = 3$

$$Q(u, v) = \sum_{i=0}^3 \sum_{j=0}^3 P_{ij} B_i^3(u) B_j^3(v), u \in \langle 0, 1 \rangle, v \in \langle 0, 1 \rangle$$

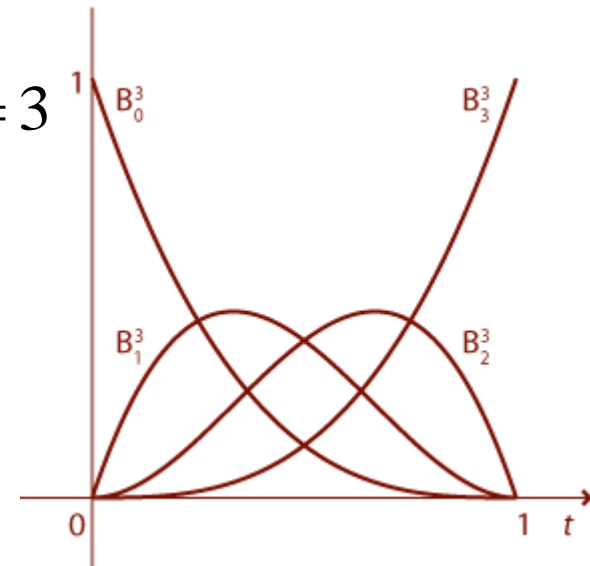
$$\begin{aligned}
 B_0^3(t) &= (1-t)^3 \\
 B_1^3(t) &= 3t(1-t)^2 \\
 B_2^3(t) &= 3t^2(1-t) \\
 B_3^3(t) &= t^3
 \end{aligned}
 \quad
 M_B = \begin{pmatrix} -1 & 3 & -3 & 1 \\ 3 & -6 & 3 & 0 \\ -3 & 3 & 0 & 0 \\ 1 & 0 & 0 & 0 \end{pmatrix}
 \quad
 P = \begin{pmatrix} P_{00} & P_{01} & P_{02} & P_{03} \\ P_{10} & P_{11} & P_{12} & P_{13} \\ P_{20} & P_{21} & P_{22} & P_{23} \\ P_{30} & P_{31} & P_{32} & P_{33} \end{pmatrix}$$

$$Q(u, v) = U M_B P M_B^T V^T = \begin{pmatrix} u^3 & u^2 & u & 1 \end{pmatrix} M_B P M_B^T \begin{pmatrix} v^3 \\ v^2 \\ v \\ 1 \end{pmatrix}$$

Bézierovy plochy (8)

- **Bézierova bikubická plocha $m = 3, n = 3$**

- v Matlabu nepočítáme se symbolickými proměnnými
- plně využíváme podporu počítání s maticemi
- určujeme **matici kořenů Bernsteinových polynomů**
- určujeme **matici koeficientů Bernsteinových polynomů M_B**
 - z kořenů Bernsteinových polynomů umíme zpětně určit koeficienty polynomů
- dále vyhodnocujeme Bernsteinovy polynomy v hodnotách parametrů u a v
 - u, v reprezentovány jako vektory, vyhodnocení Bern. pol. ukládáme do matic



$$M_B = \begin{pmatrix} -1 & 3 & -3 & 1 \\ 3 & -6 & 3 & 0 \\ -3 & 3 & 0 & 0 \\ 1 & 0 & 0 & 0 \end{pmatrix}$$

Bézierovy plochy (9)

- **Plátování**

- mějme dva Bézierovy pláty Q, R
- první z nich je určen sítí řídicích bodů $Q_{ij}, i = 0, \dots, s; j = 0, \dots, n$
- druhý je určen sítí řídicích bodů $R_{ij}, i = 0, \dots, t; j = 0, \dots, n$
 - počet bodů ve směru v je stejný pro oba pláty a je roven n
- pláty navazujeme ve směru u

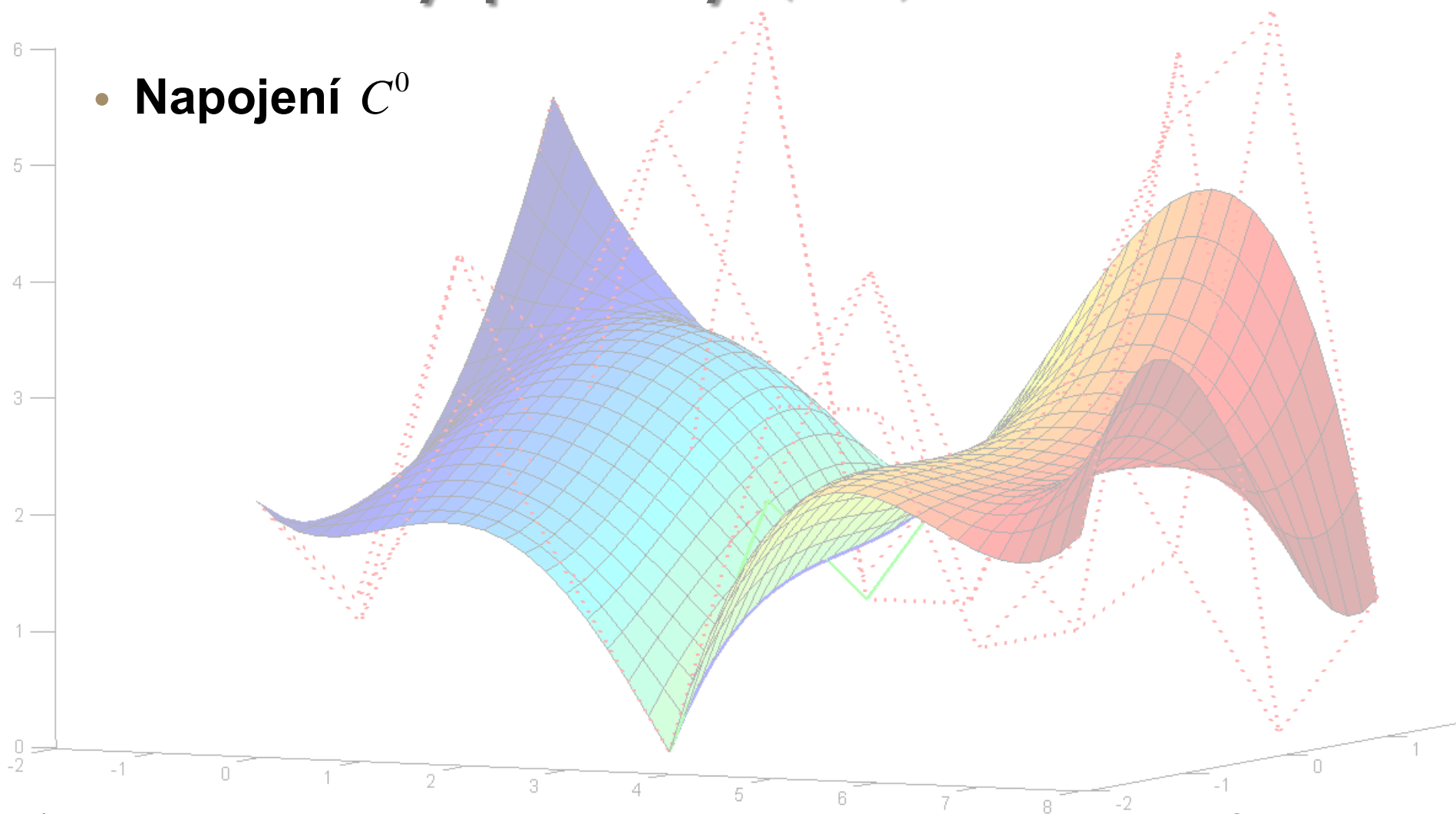
- **Napojení C^0**

- **pláty mají společnou stranu**, tj. $Q(u, 1) = R(0, v)$, toho docílíme ztotožněním řídicích bodů, které určují příslušnou stranu
 - tj. pláty mají společnou hraniční lomenou čáru a různé příčné tečné vektory

$$Q_{sj} = R_{0j}, j = 0, \dots, n$$

Bézierovy plochy (10)

- Napojení C^0



Bézierovy plochy (1 1)

- **Napojení C^1**

- **pokud společná strana plátů je C^1 spojitá a jsou-li identické příčné tečné vektory** ve směru u podél této strany
- **tj. shoda C^1 spojitě strany a splnění následující vztahu** pro body řídicích polygonů obou plátů

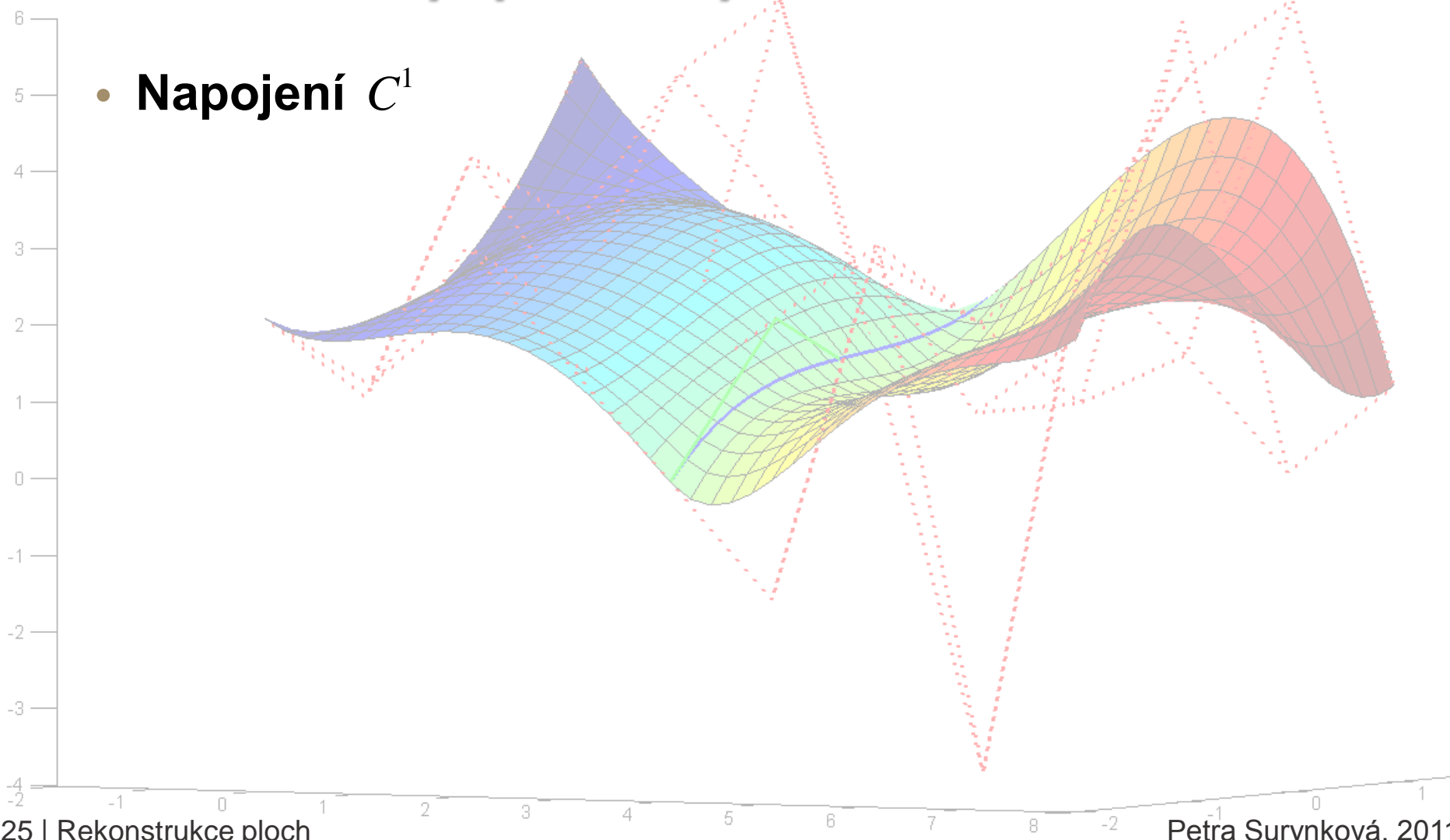
$$Q_{sj} - Q_{s-1j} = R_{1j} - R_{0j}, j = 0, \dots, n$$

- **řídicí body společné strany plátů leží ve středu úseček**, které spojují vždy předposlední bod řídicího polygonu plátu R ve směru u s druhým bodem plátu Q ve stejném směru
 - G^1 spojitost pokud je splněna lineární závislost s koeficientem $k > 0$

$$Q_{sj} - Q_{s-1j} = k(R_{1j} - R_{0j}), j = 0, \dots, n$$

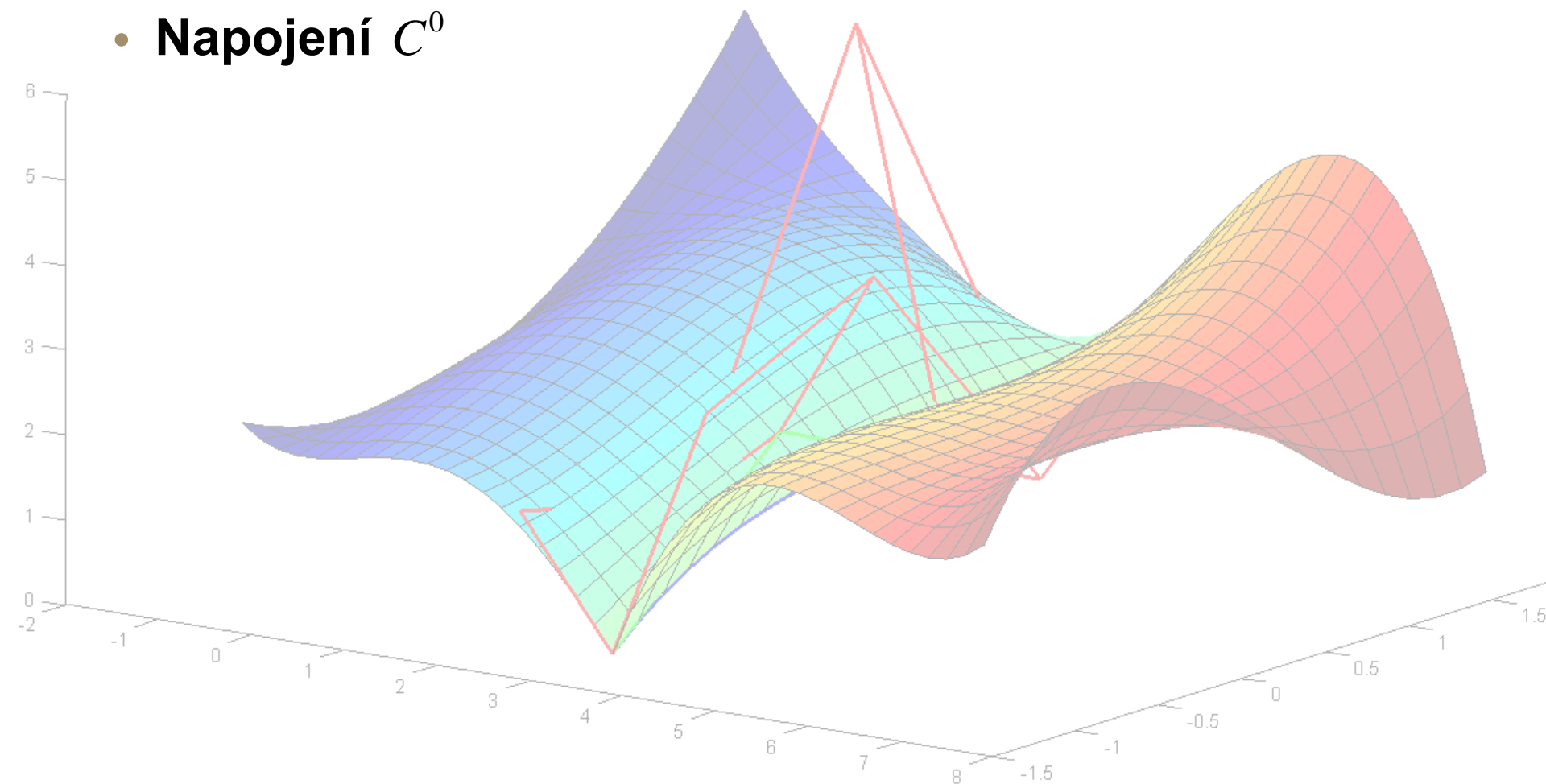
Bézierovy plochy (12)

- Napojení C^1



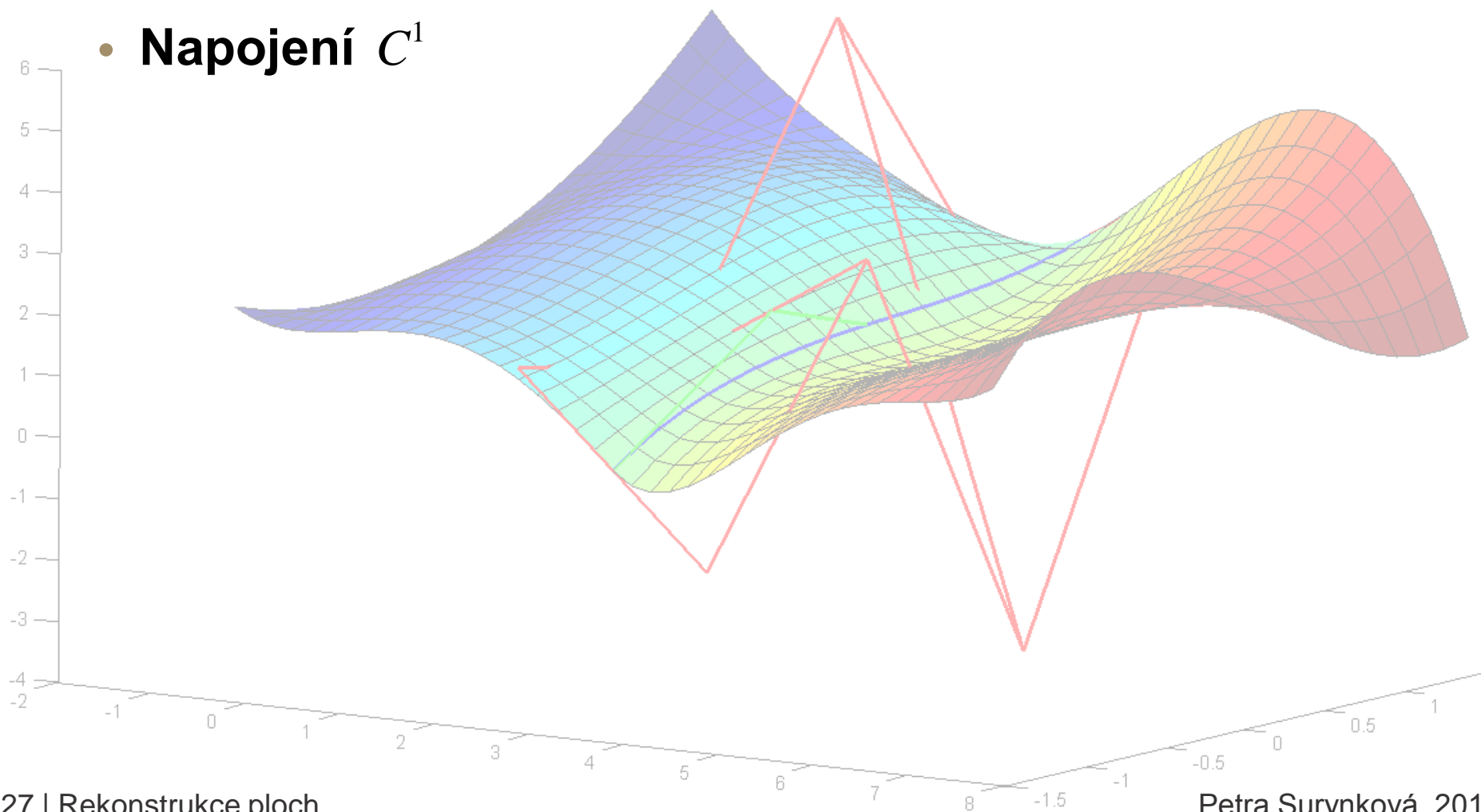
Bézierovy plochy (13)

- Napojení C^0



Bézierovy plochy (14)

- Napojení C^1

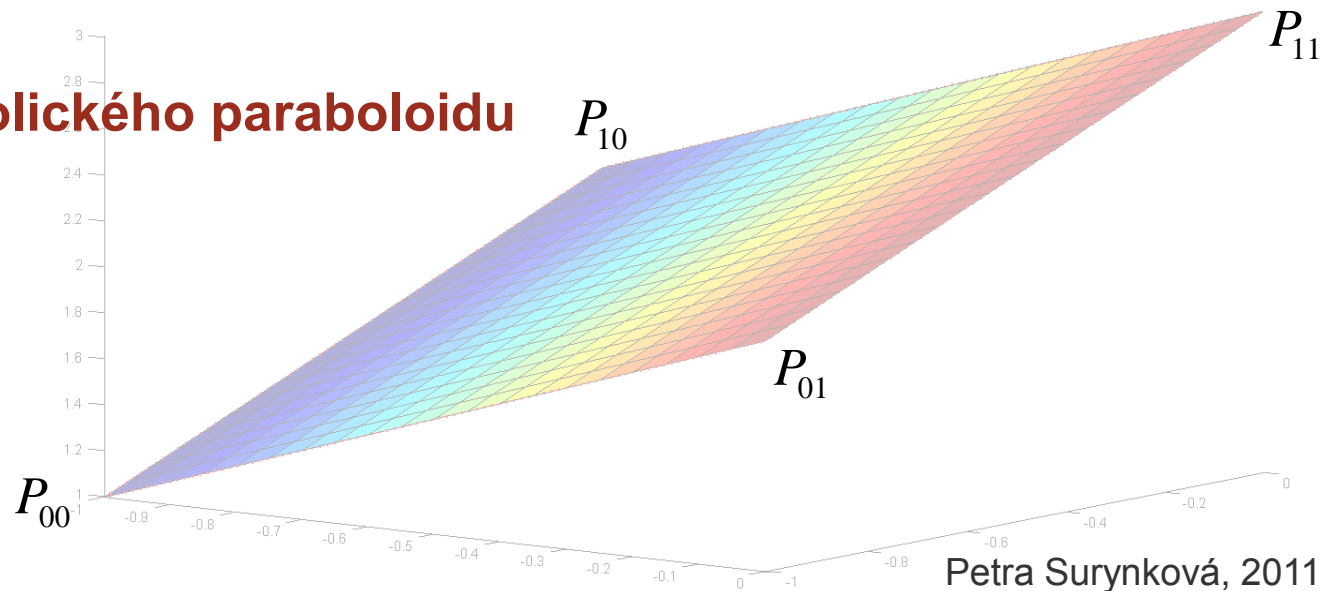


Bézierovy plochy (15)

- **Speciální příklady Bézierových ploch**
 - **bilinéární Bézierova plocha** – tj. $m = 1, n = 1$
 - je určena 2×2 řídicími body
 - u -křivky a v -křivky jsou pouze úsečky
 - výpočtem lze dokázat, že tímto způsobem lze definovat pouze **část roviny** (pokud řídicí body leží v jedné rovině)

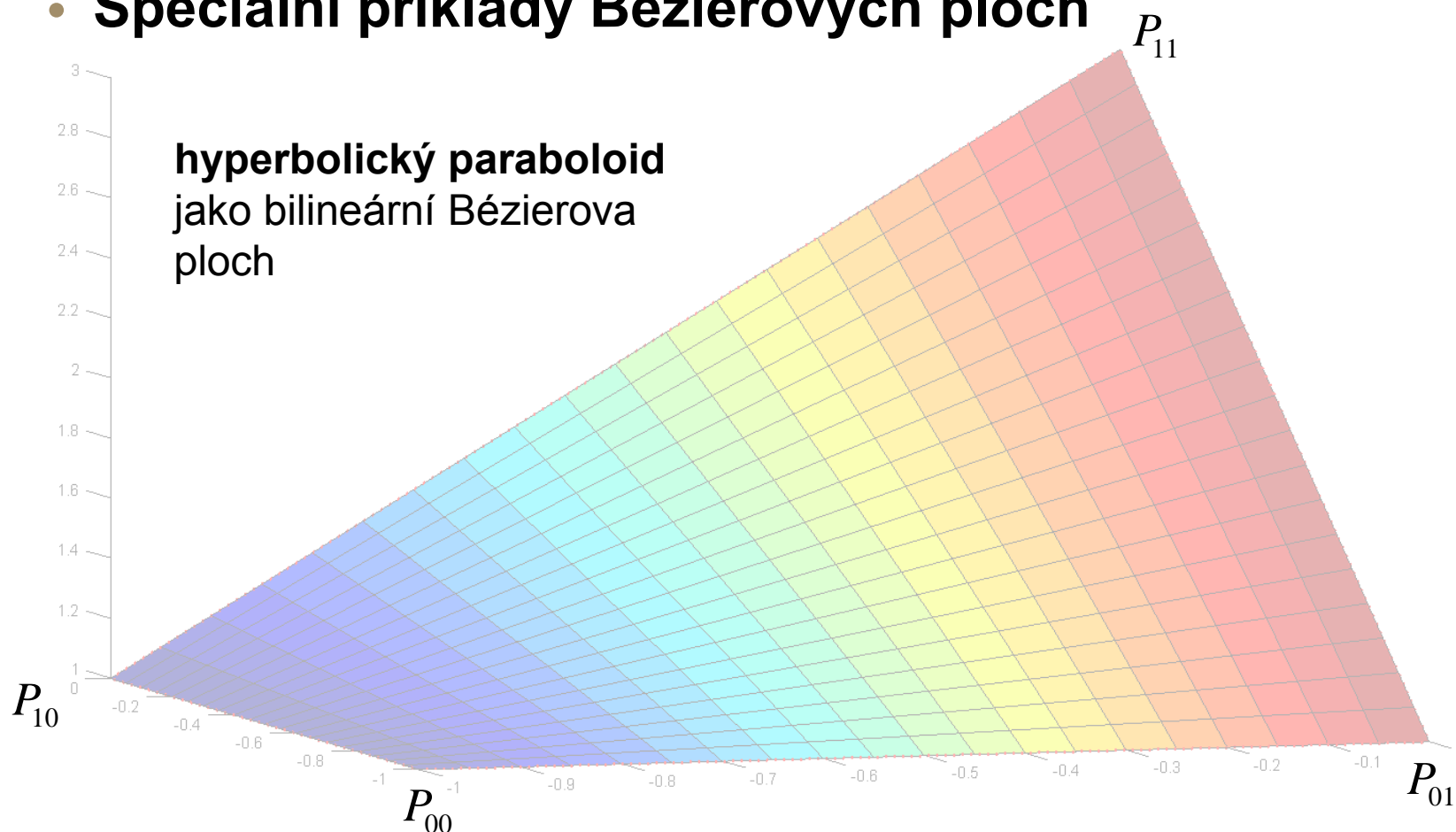
nebo

část hyperbolického paraboloidu



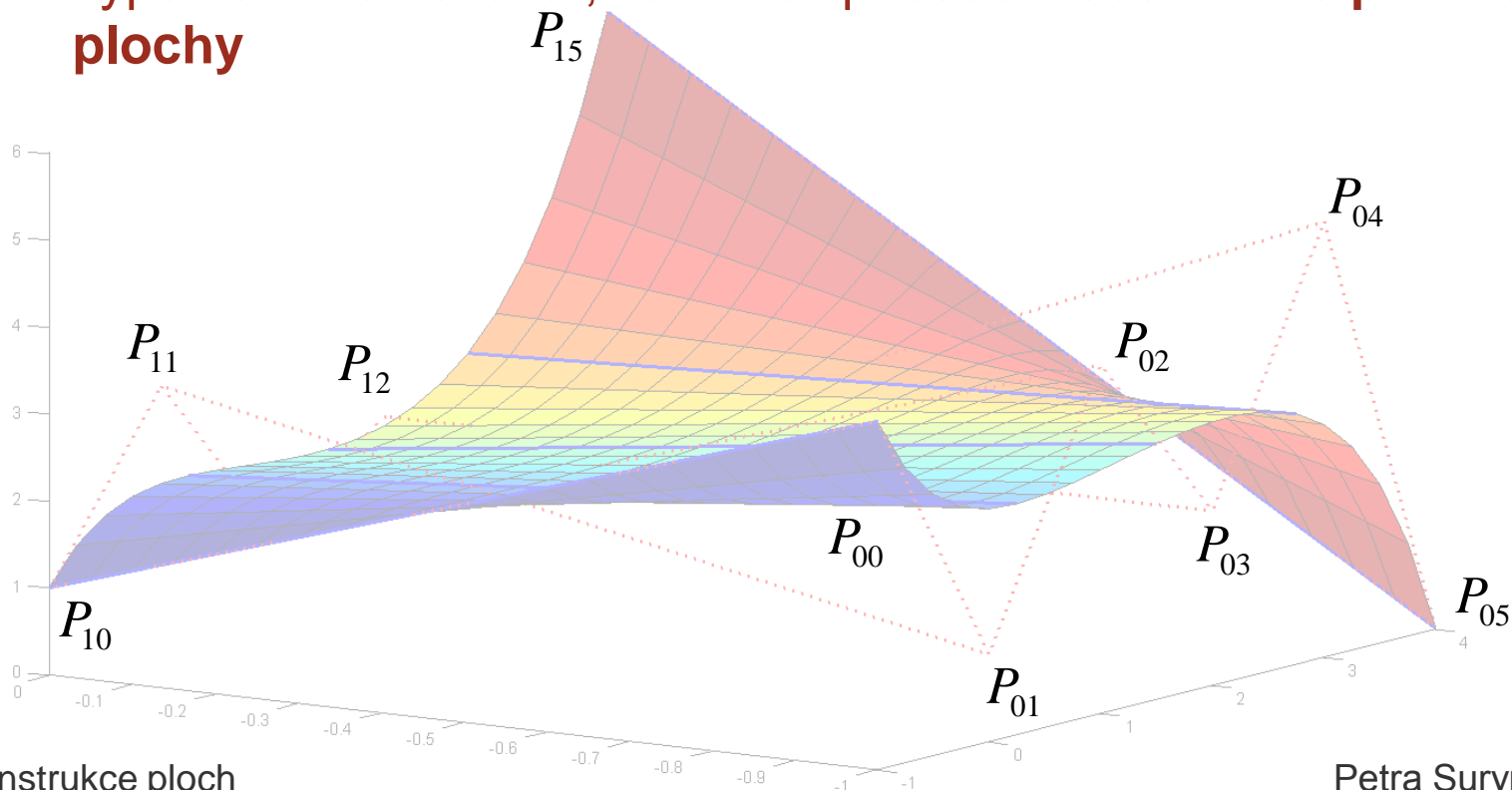
Bézierovy plochy (16)

- Speciální příklady Bézierových ploch



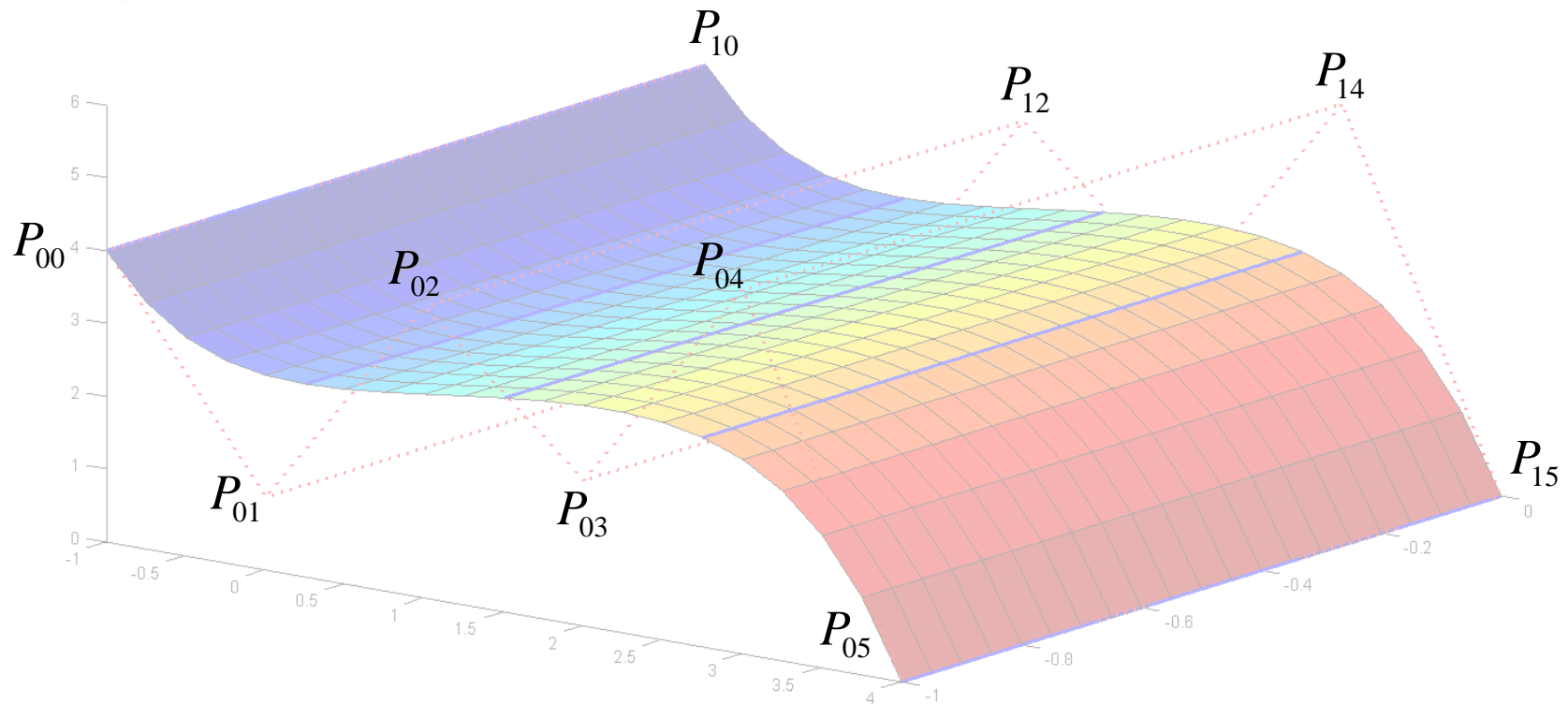
Bézierovy plochy (17)

- Speciální příklady Bézierových ploch
 - **Bézierova plocha $m \times n$** , kde $m = 1$
 - výpočtem lze dokázat, že tímto způsobem dostáváme **přímkové plochy**



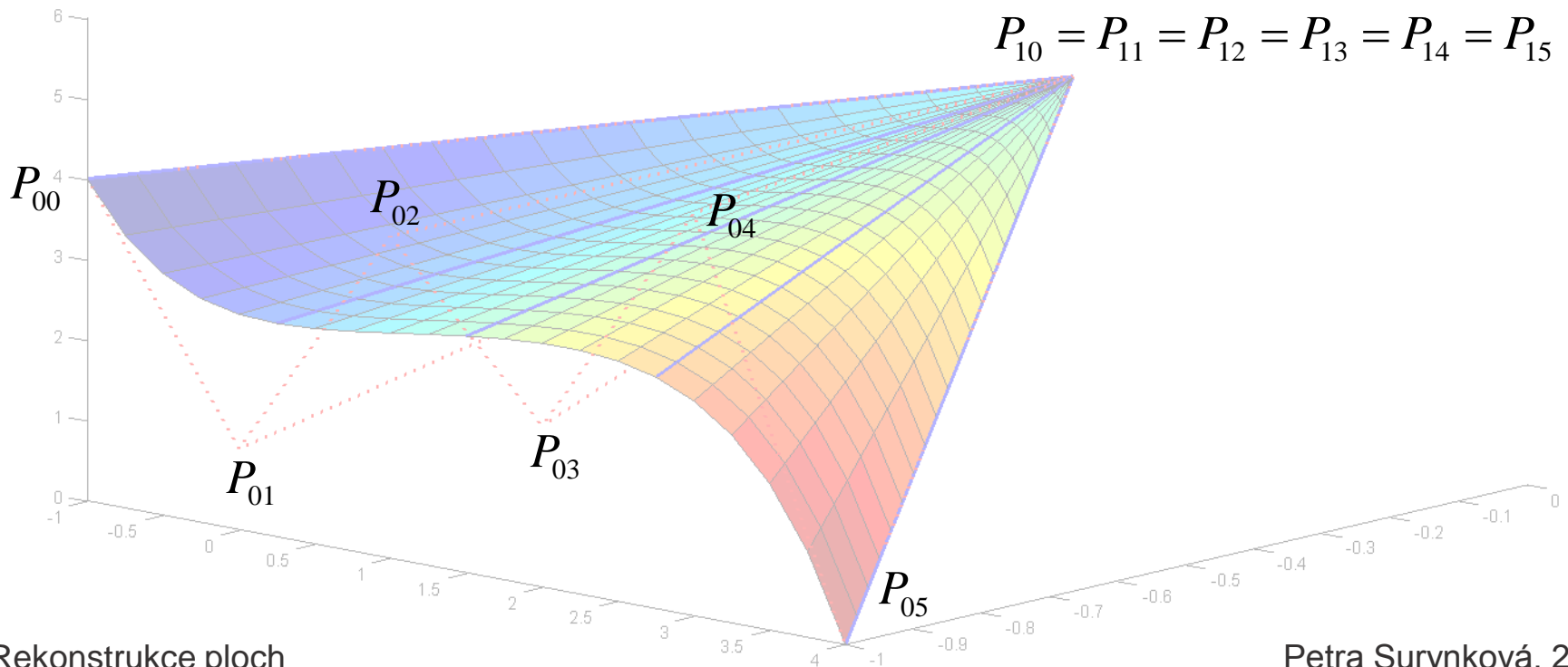
Bézierovy plochy (18)

- Speciální příklady Bézierových ploch
 - Bézierova plocha $m \times n$, kde $m = 1$
 - při speciální volbě řídicích bodů – **válcová plocha**



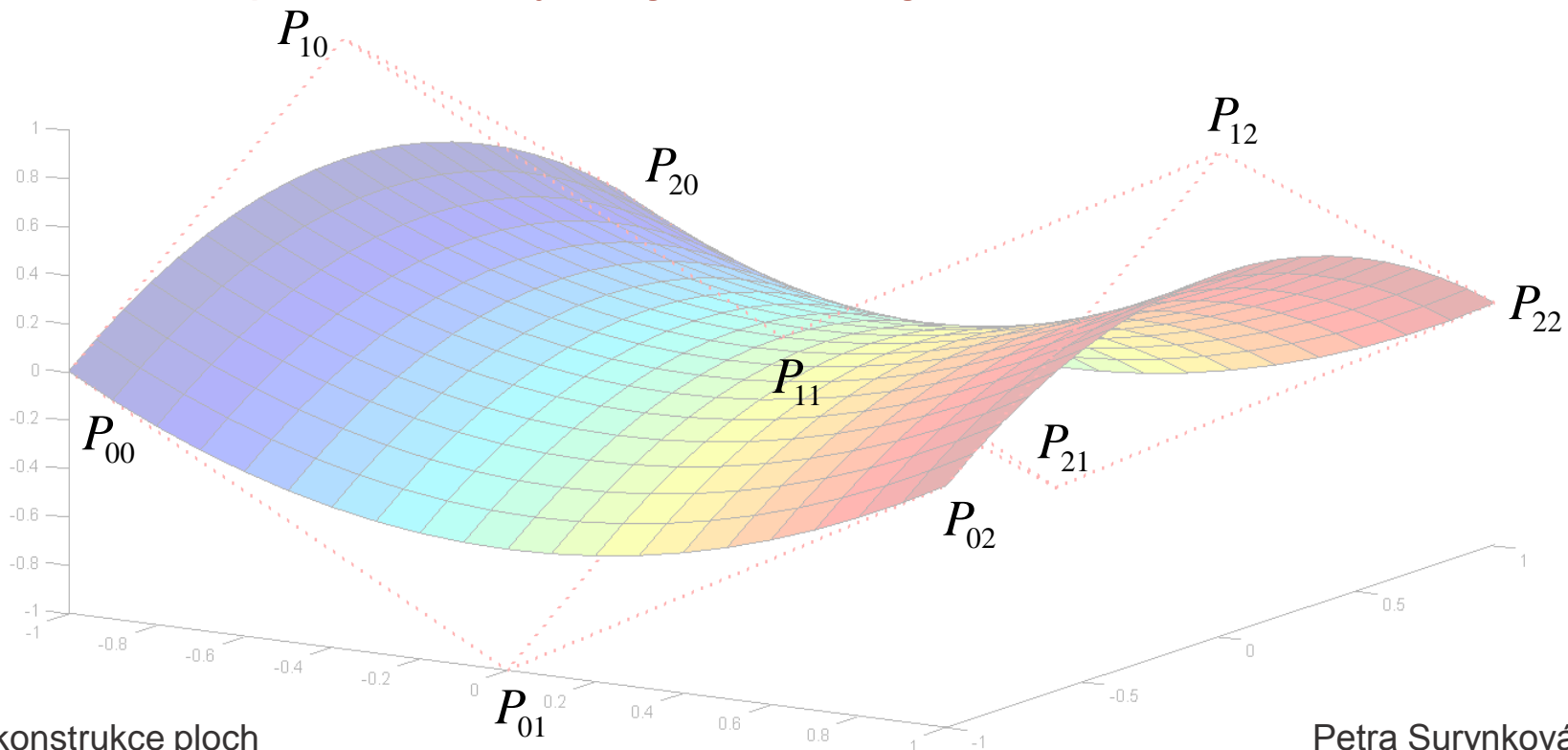
Bézierovy plochy (19)

- Speciální příklady Bézierových ploch
 - **Bézierova plocha $m \times n$** , kde $m = 1$
 - při speciální volbě řídicích bodů – **kuželová plocha**



Bézierovy plochy (20)

- Speciální příklady Bézierových ploch
 - Bézierova plocha $m \times n$, kde $m=2, n=2$
 - další speciální volby – hyperbolický paraboloid



Racionální Bézierovy plochy (1)

- K řídicím bodům jsou přiřazeny tzv. **váhy** w_{ij}
 - jestliže jsou všechny váhy rovny jedné, přechází racionální Bézierova plocha v Bézierovu plochu
 - racionální Bézierovy plochy jsou zobecněním Bézierových ploch
 - **dovolují přesný popis kvadrik, lze popsat více speciálních ploch**
 - vychází z toho, že kromě paraboly nelze Bézierovými křivkami popsat kuželosečky
 - **pro modelování k dispozici další parametry, měníme tvar plochy bez změny řídicích bodů**

$$Q(u, v) = \frac{\sum_{i=0}^m \sum_{j=0}^n w_{ij} P_{ij} B_i^m(u) B_j^n(v)}{\sum_{i=0}^m \sum_{j=0}^n w_{ij} B_i^m(u) B_j^n(v)}$$

$$u \in \langle 0, 1 \rangle, v \in \langle 0, 1 \rangle$$

Racionální Bézierovy plochy (2)

- Speciální příklady racionálních Bézierových ploch
 - př. ¼ rotační válcové plochy

$$P_{00} = [r, 0, 0] \quad w_{00} = 1$$

$$P_{10} = [r, 0, v] \quad w_{10} = 1$$

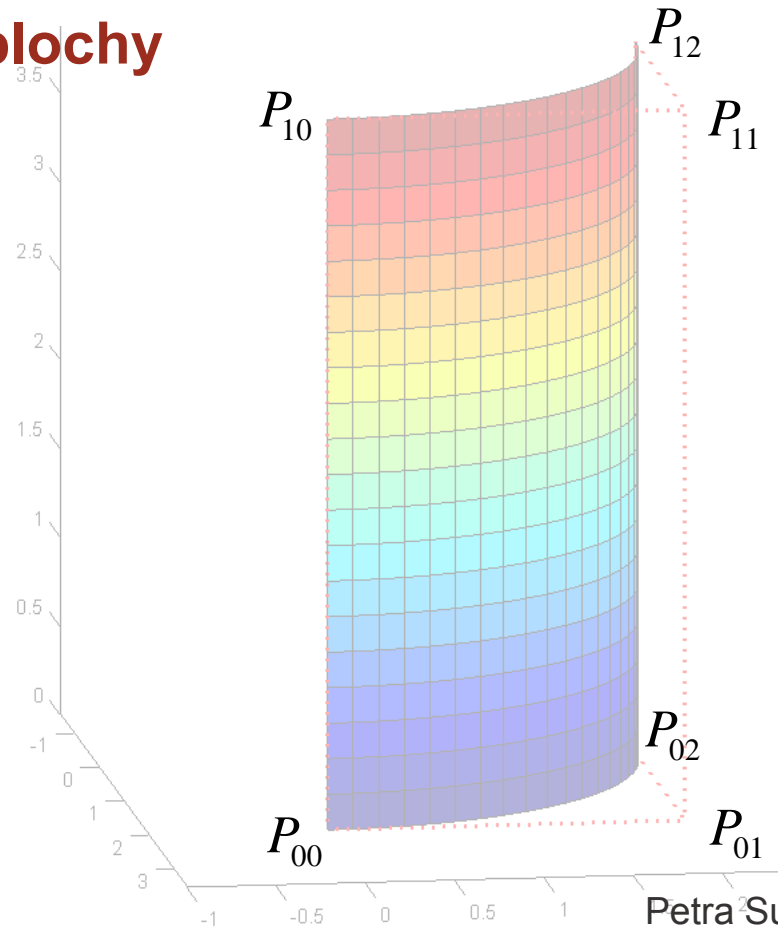
$$P_{01} = [r, r, 0] \quad w_{01} = \frac{\sqrt{2}}{2}$$

$$P_{11} = [r, r, v] \quad w_{11} = \frac{\sqrt{2}}{2}$$

$$P_{02} = [0, r, 0] \quad w_{02} = 1$$

$$P_{12} = [0, r, v] \quad w_{12} = 1$$

v – výška, r – poloměr válce



Racionální Bézierovy plochy (3)

- Speciální příklady racionálních Bézierových ploch

- př. 1/16 anuloidu

$$P_{00} = [0, R, r] \quad w_{00} = 1$$

$$P_{10} = [R, R, r] \quad w_{10} = \frac{\sqrt{2}}{2}$$

$$P_{20} = [R, 0, r] \quad w_{20} = 1$$

$$P_{01} = [0, R + r, r] \quad w_{01} = \frac{\sqrt{2}}{2}$$

$$P_{11} = [R + r, R + r, r] \quad w_{11} = \frac{1}{2}$$

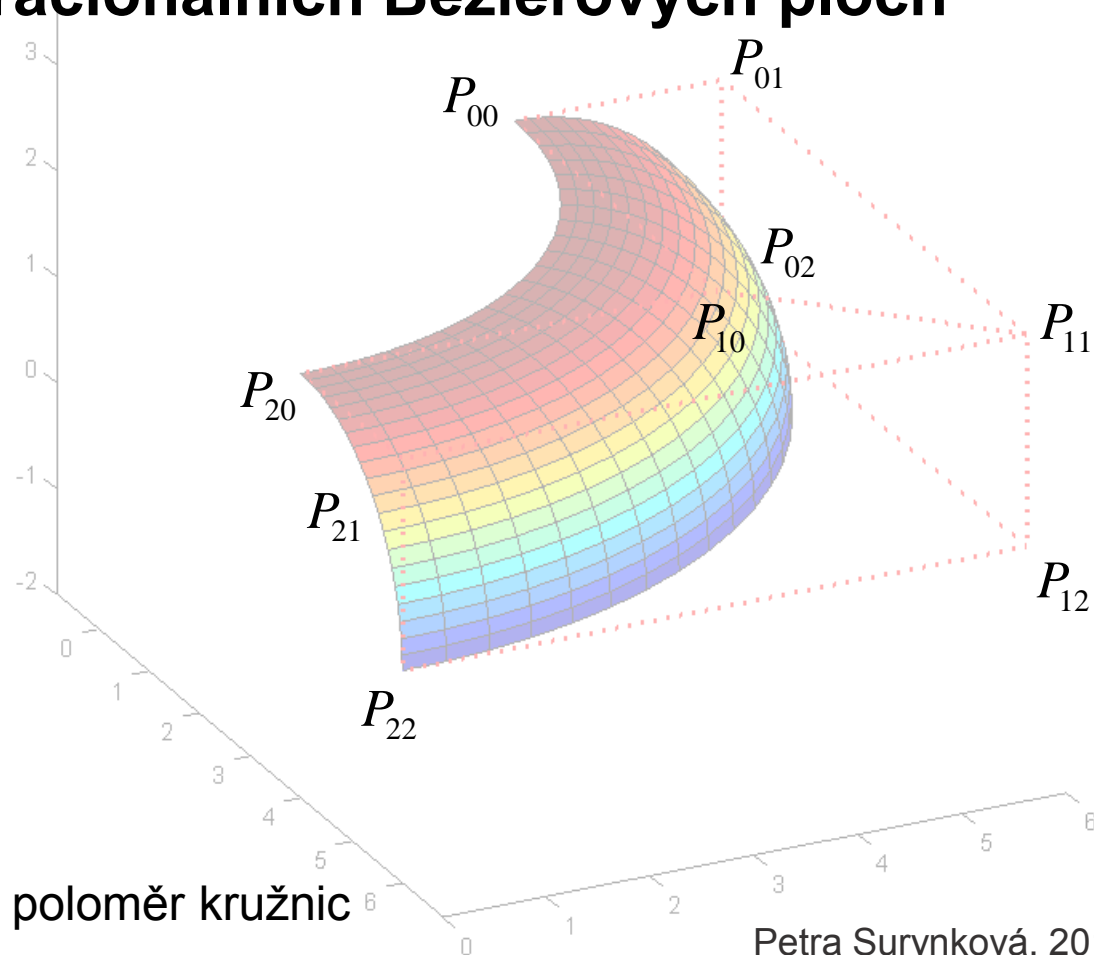
$$P_{21} = [R + r, 0, r] \quad w_{21} = \frac{\sqrt{2}}{2}$$

$$P_{02} = [0, R + r, 0] \quad w_{02} = 1$$

$$P_{12} = [R + r, R + r, 0] \quad w_{12} = \frac{\sqrt{2}}{2}$$

$$P_{22} = [R + r, 0, 0] \quad w_{22} = 1$$

r, R – poloměr kružnic



Racionální Bézierovy plochy (4)

- Speciální příklady racionálních Bézierových ploch

- př. 1/8 koule

$$P_{00} = [0, 0, r] \quad w_{00} = 1$$

$$P_{10} = [r, 0, r] \quad w_{10} = \frac{\sqrt{2}}{2}$$

$$P_{20} = [r, 0, 0] \quad w_{20} = 1$$

$$P_{01} = [0, 0, r] \quad w_{01} = 1$$

$$P_{11} = [r, r, r] \quad w_{11} = \frac{1}{2}$$

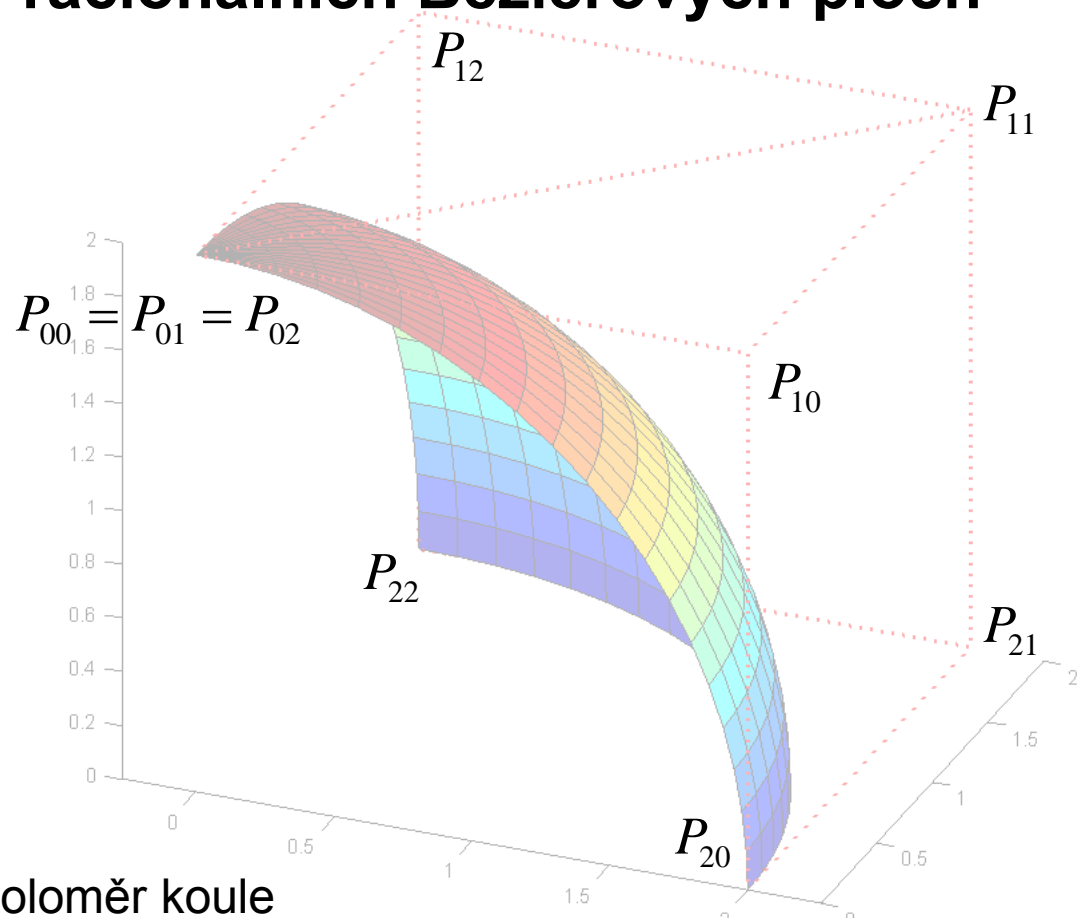
$$P_{21} = [r, r, 0] \quad w_{21} = \frac{\sqrt{2}}{2}$$

$$P_{02} = [0, 0, r] \quad w_{02} = 1$$

$$P_{12} = [0, r, r] \quad w_{12} = \frac{\sqrt{2}}{2}$$

$$P_{22} = [0, r, 0] \quad w_{22} = 1$$

r - poloměr koule



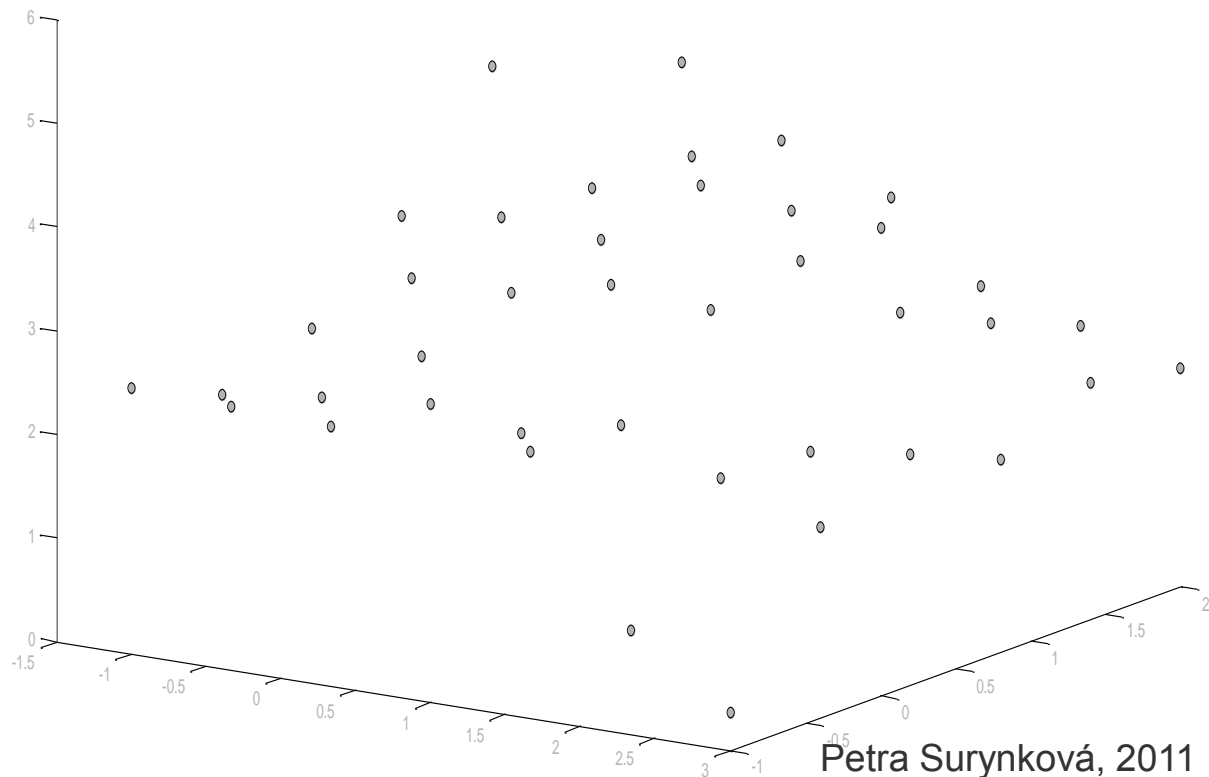
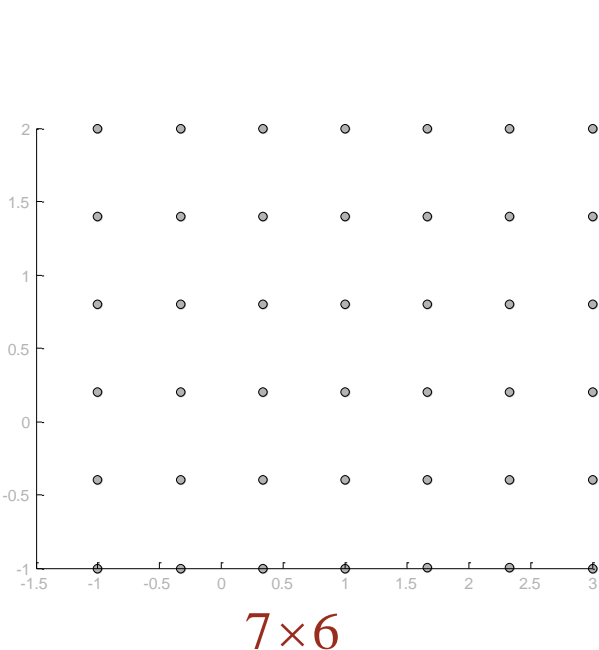
Programová demonstrace



**Ukázka obecných racionálních Bézierových
plátů v prostředí Matlab**

Aproximace ploch Bézierovými pláty (1)

- Vstupní množina – **body v prostoru**, známe pouze souřadnice
- Zjednodušení – **body tvoří v půdoryse pravidelnou obdélníkovou mřížku**



Aproximace ploch Bézierovými pláty (2)

- Vstupní množina – **body v prostoru**, známe pouze souřadnice
- Zjednodušení – **body tvoří v půdoryse pravidelnou obdélníkovou mřížku**

$$X(u, v) = \sum_{i=0}^m \sum_{j=0}^n P_{ij} B_i^m(u) B_j^n(v), u \in \langle 0, 1 \rangle, v \in \langle 0, 1 \rangle$$

známe

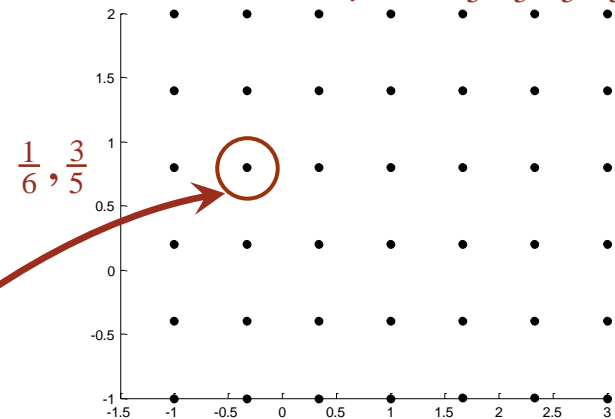
hledáme

$$u_k = 0, \frac{1}{6}, \frac{1}{3}, \frac{1}{2}, \frac{2}{3}, \frac{5}{6}, 1$$

$$v_l = 0, \frac{1}{5}, \frac{2}{5}, \frac{3}{5}, \frac{4}{5}, 1$$

- bodům přiřadíme parametry podle mřížky

$$\square \text{ tj. } X(u_k, v_l) = \sum_{i=0}^m \sum_{j=0}^n P_{ij} B_i^m(u_k) B_j^n(v_l)$$



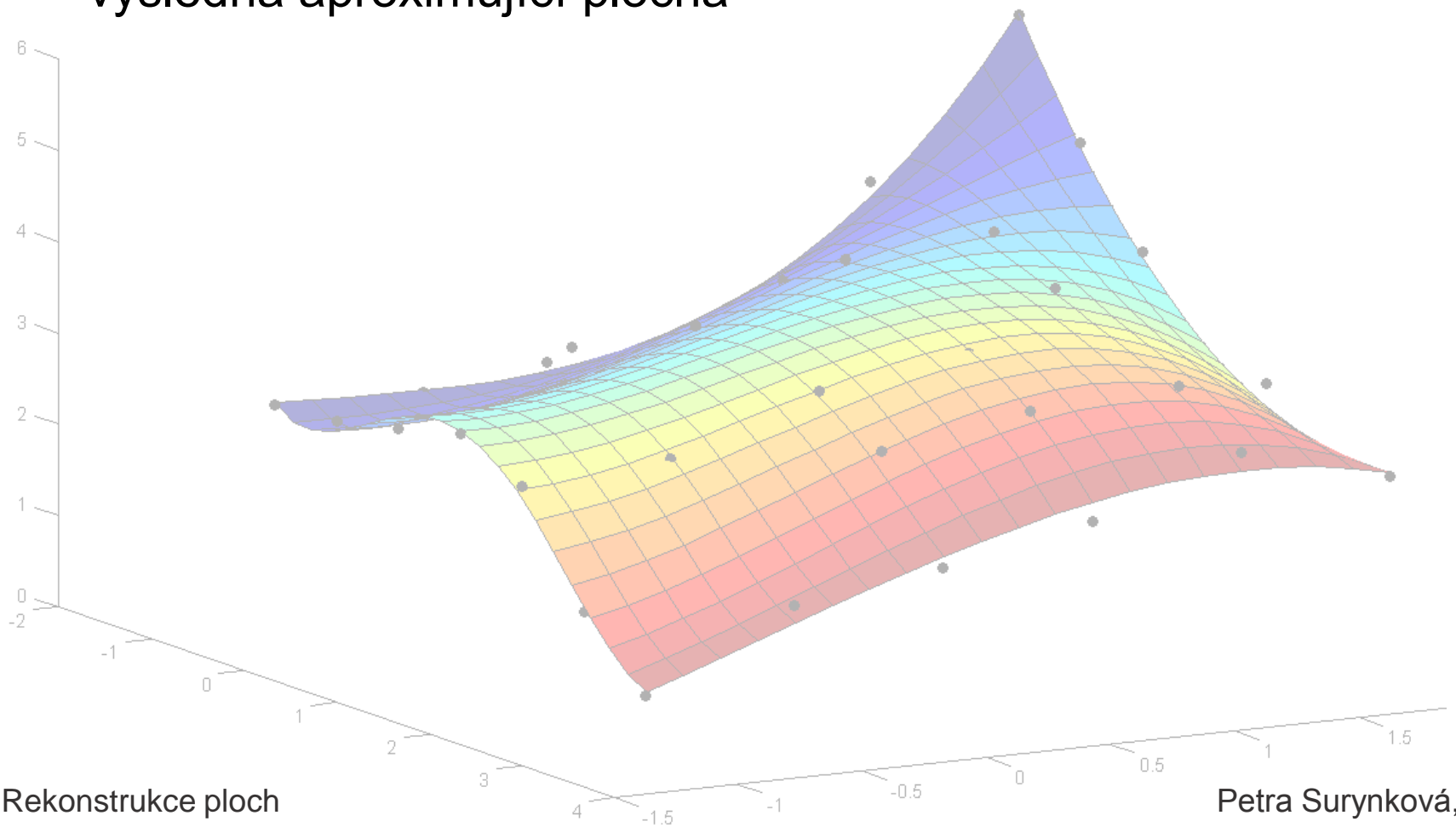
Aproximace ploch Bézierovými pláty (3)

- **stupeň plochy** $m \times n$ volíme
 - podle toho, zda chceme plochu interpolovat nebo aproximovat
 - pokud máme o ploše další informace – např. jde o body klenby, můžeme předpokládat nízký stupeň plochy, nebo stupeň dokonce známe
- hledáme **řídící body** P_{ij} **ve smyslu metody nejmenších čtverců**
 - využíváme funkcí Matlabu k řešení přeuredené soustavy rovnic
- **jedna rovnice soustavy**

$$X(u_k, v_l) = \left(B_0^m(u_k), B_1^m(u_k), \dots, B_m^m(u_k) \right) P \left(B_0^n(v_l), B_1^n(v_l), \dots, B_n^n(v_l) \right)^T$$

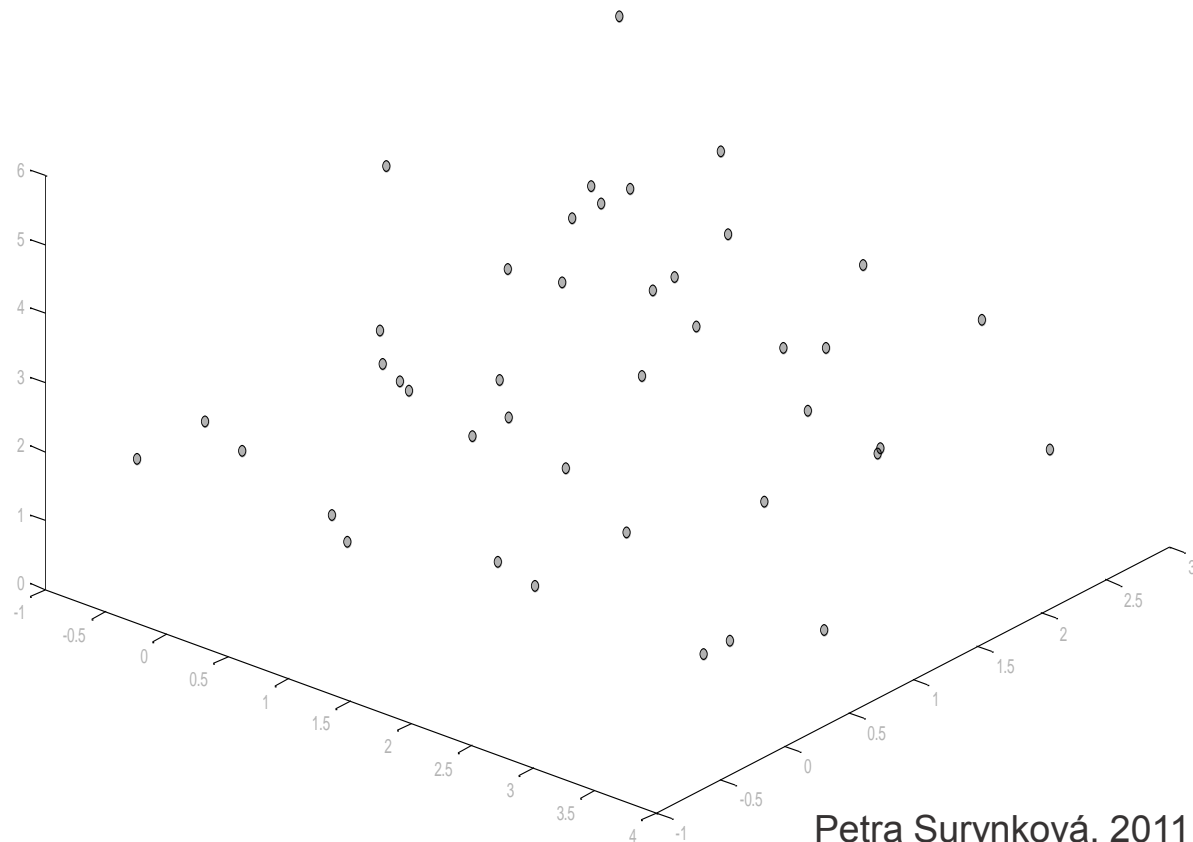
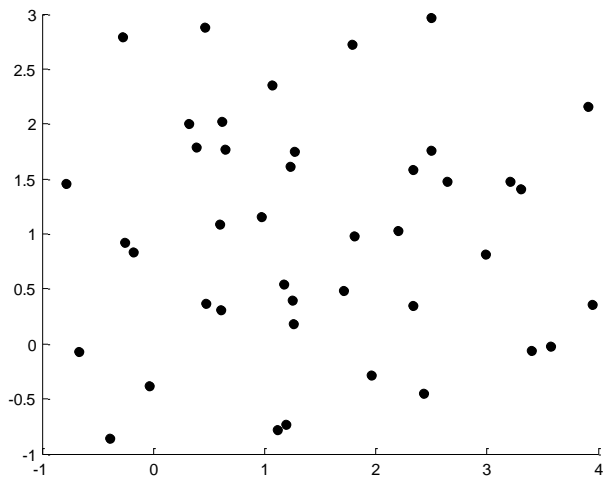
Aproximace ploch Bézierovými pláty (4)

- výsledná aproximující plocha



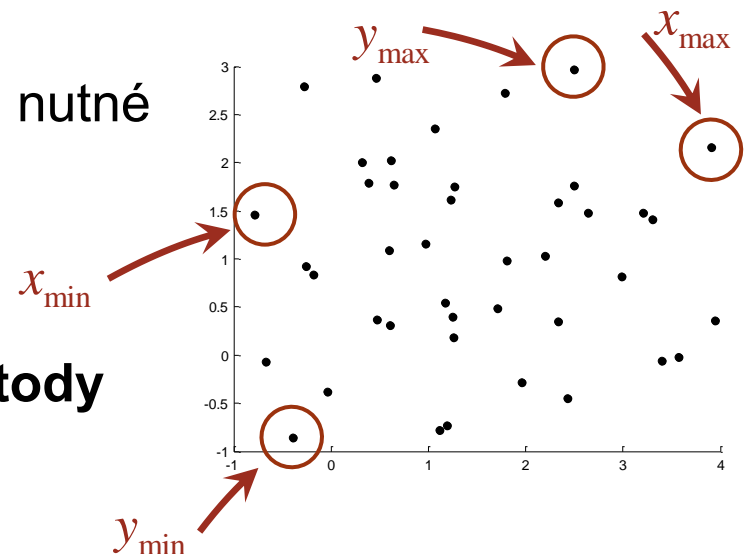
Aproximace ploch Bézierovými pláty (5)

- Vstupní množina – **body v prostoru**, známe pouze souřadnice
- Obecné – **body netvoří v půdoryse pravidelnou mřížku**



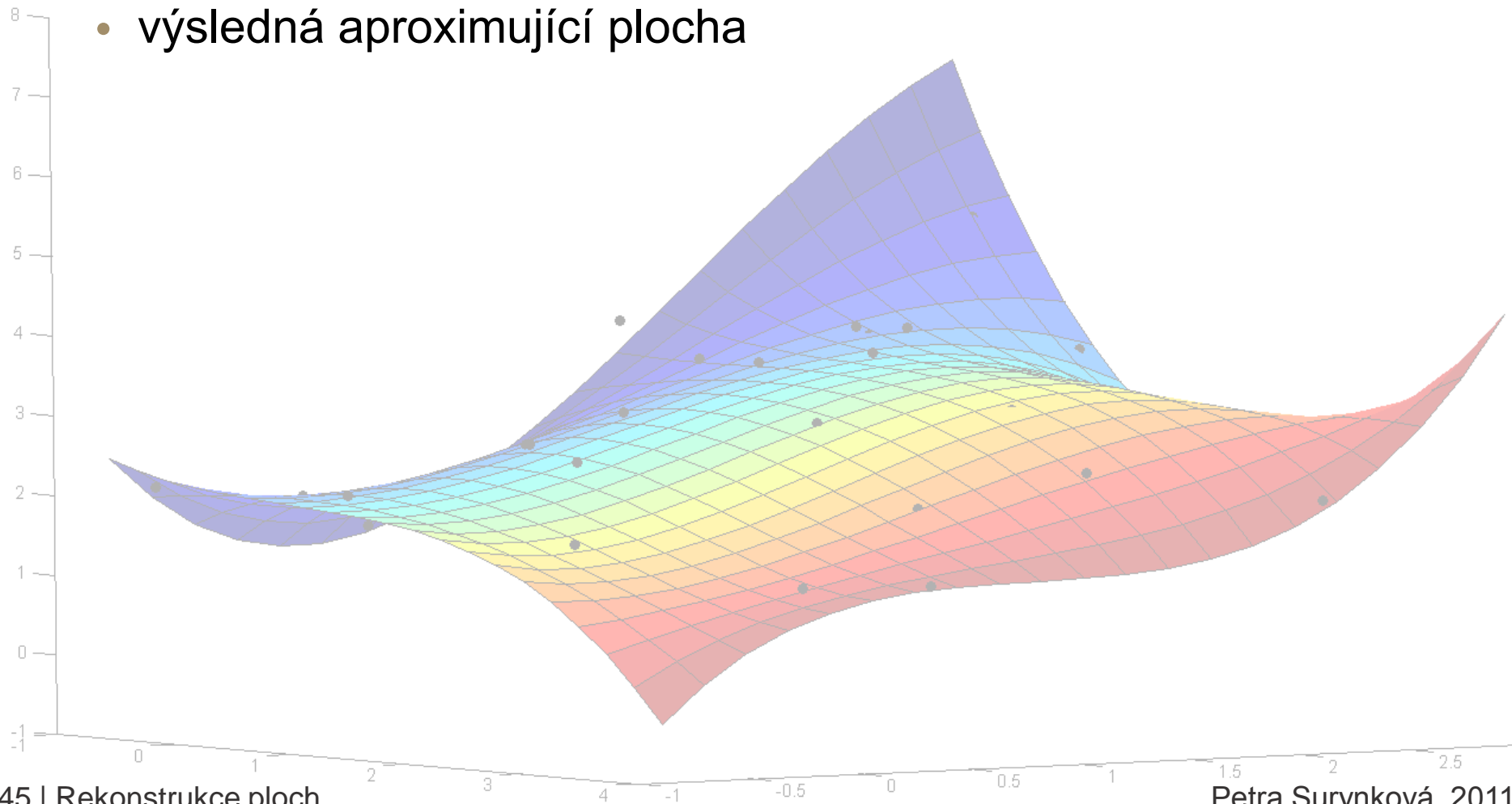
Aproximace ploch Bézierovými pláty (6)

- Vstupní množina – **body v prostoru**, známe pouze souřadnice
- Obecné – **body netvoří v půdoryse pravidelnou mřížku**
- bodům přiřadíme parametry podle přeškálování
 - určujeme body s minimální a maximální x-ovou a y-ovou souřadnicí
- kvůli nepravidelnosti vstupní množiny je nutné body přeuspořádat do matic
- opět **stupeň plochy** $m \times n$ volíme
- hledáme **řídící body** P_{ij} ve smyslu metody **nejmenších čtverců**



Aproximace ploch Bézierovými pláty (7)

- výsledná aproximující plocha



Programová demonstrace



**Ukázka aproximace Bézierovými pláty v
prostředí Matlab**

Další vylepšování tvaru (1)

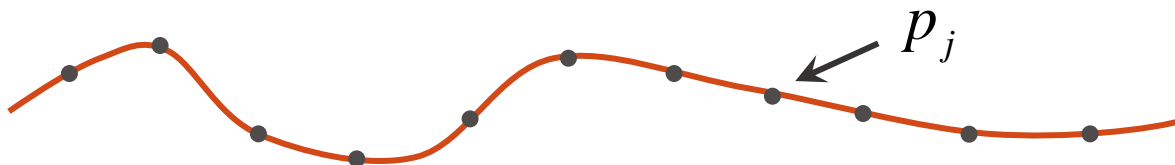
- Pojem postupného vylepšování tvaru vysvětlíme na křivkách
 - ukázka **evoluce uzavřených a otevřených B-spline křivek**
- Cílem je vhodně aproximovat zadanou množinu bodů v rovině daným typem křivky
 - zvolená metoda je **evoluce**
- **Podstata evoluce**
 - postupný vývoj křivky od jistého počátečního tvaru a polohy
 - křivka je tomuto procesu podrobena do té doby, dokud nesplňuje nějaké předem dané kritérium
 - zde, dokud **neprochází body vstupní množiny**

Další vylepšování tvaru (2)

- dána množina bodů $\{p_j\}_{j=1..N}$ v rovině
- cílem je proložit tyto body křivkou
- výslednou křivku hledáme tak, aby byla splněna podmínka

$$\sum_{j=1}^N \min_{x_j \in c} \|p_j - x_j\|^2 \rightarrow \min,$$

kde x_j značí body na křivce



Další vylepšování tvaru (3)

- mějme **parametricky popsanou křivku**

$$c(u) = \sum_{i=0}^m B_i(u) \cdot V_i$$


$$u \in [a, b]$$

u **parametr křivky**

V_i **řídící body** křivky

B_i **bázové funkce**

- označme $c_s(u) := c(s, u)$
 - v reprezentaci křivky se objevují dva rozdílné parametry

vektor parametrů $s = (s_1, s_2, \dots, s_n)$ $s \in \Omega \subset \mathbb{R}^n$  $\sum_{j=1}^N \min_{u_j} \|p_j - c_s(u_j)\|^2 \rightarrow \min$

- s_j jsou x-ové a y-ové souřadnice řídících bodů

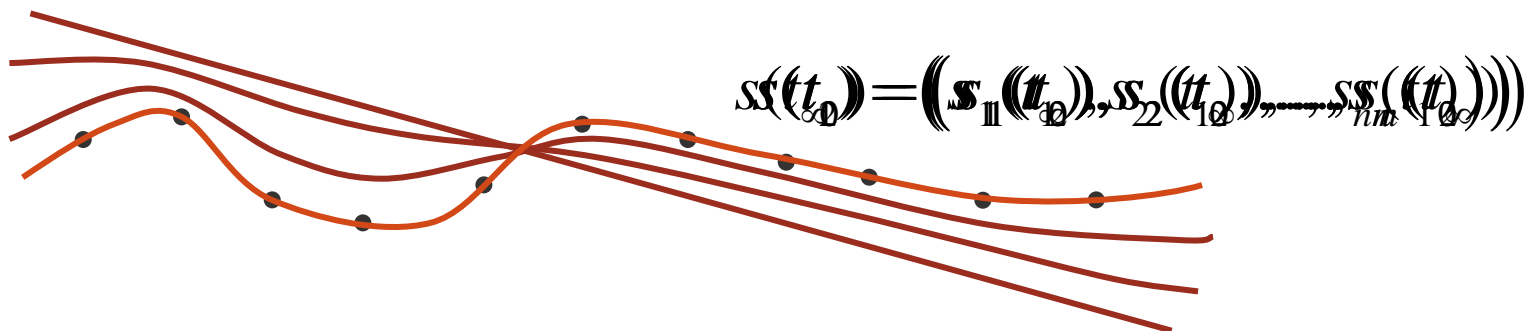
Další vylepšování tvaru (4)

- hledáme vektor parametrů $s = (s_1, s_2, \dots, s_n)$, který definuje křivku
- nechť vektor parametrů závisí na dalším parametru t – **evoluční parametr**

- parametr t můžeme chápat jako čas

⇒ $s(t) = (s_1(t), s_2(t), \dots, s_n(t))$

- tyto **parametry** jsou v čase **modifikovány** tak, že se počáteční **křivka mění a pohybuje stále blíž k daným bodům**



Programová demonstrace



**Ukázka evoluce uzavřených a otevřených
B-spline křivek v prostředí Matlab**

Další vylepšování tvaru (5)

- Princip postupného vývoje tvaru bude **analogický pro plochy**
 - jde o mnohem komplikovanější problém
 - to je také důvod, proč počáteční polohu a tvar plochy nevolíme zcela libovolně, ale **vycházíme z prvotní aproximace**
- Aproximace je sama o sobě velmi spolehlivou metodou
 - protože vycházíme z aproximace metodou nejmenších čtverců, **nelze již plochu v tomto směru vylepšovat**
 - **plocha v lokálním minimu**
 - volíme **jiné funkční závislosti**
 - vylepšujeme tvar plochy tak, aby lépe aproximovala danou množinu bodů

Další vylepšování tvaru (6)

- K daným bodům množiny se plochou přibližujeme minimalizací **chybové funkce**
 - chybová funkce např. vyjadřuje součet vzdáleností bodů vstupní množiny od **nejbližších bodů na ploše**
 - lze použít i jiné funkce
 - např. radiální bázové funkce – spojitě, diferencovatelné
- Minimalizace **chybové funkce**
 - **výpočet parciálních derivací**
 - **aktualizace řídicích bodů plochy**

$$P_x \text{ _ akt} = P_x \text{ _ poc} - \varepsilon \frac{1}{\text{parc_der_x}}$$

Další vylepšování tvaru (7)

- **Jiný přístup**
 - po aproximaci Bézierovou plochou přecházíme **k racionální parametrizaci**
- **Další tvar plochy vylepšujeme změnou vah řídicích bodů**
 - **minimalizujeme opět chybovou funkci**, ale tentokrát aktualizujeme váhy řídicích bodů
 - **řídicí body zůstávají na místě**
 - **nemění se stupeň plochy**
 - **modifikuje se tvar plochy**
- **Použití jak pro funkci vzdáleností tak pro radiální funkce**

Programová demonstrace



**Ukázka postupného vylepšování tvaru
Bézierovy plochy v prostředí Matlab**

Závěr a budoucí práce

- V budoucí práci se zaměříme na použití **dalších typů ploch k rekonstrukci povrchů**
 - **B-spline a NURBS plochy**
 - Bézierovy plochy – nevýhodné při změně řídicího bodu, změna celé plochy, proto použití racionálních Bézierových ploch
 - jejich implementace, použití k aproximaci
- **Další vylepšování tvaru plochy**
 - použití jiných chybových funkcí
 - další radiální bázové funkce
 - interaktivní přístup – **možnost vybrat, ke kterým bodům se přiblížíme**

Závěr a budoucí práce

- **Další vylepšování tvaru plochy**
 - **přidání vah k bodům mračna** – tj. vybírání důležitých bodů
 - **po aproximaci přejít k racionální parametrizaci a k plátování**
 - racionální parametrizace - hotové
 - **zvýšení stupně plochy**
 - ne vždy výhodné, může vzniknout nežádoucí vlnění
- **Další zpracování dat z 3D skenerů**
- **Vizualizace výsledků v programu Rhinoceros**